

مساهمة بعض المتغيرات البيوميكانيكية في المستوى الرقمي للفوز بالزانة للرجال

* أ.م.د. صلاح الدين محمد مالك

** علاء الدين حامد مصطفى

١. المقدمة : Introduction

بالرغم من استخدام التكنولوجيا الحديثة في تصنيع الزانة من الألياف الصناعية، وما تبع ذلك من ارتفاعات ملحوظة للفوز بالزانة، إلا أنه لوحظ اختلاف التطور المستمر في الأداء لهذه المسابقة على مدار العشرين عاماً السابقة عن مسابقات الميدان والمضمار الأخرى التي أصبح فيها الأداء في قمته في الأعوام الماضية.

ومازالت مسابقة الفوز بالزانة تحتاج إلى تطور، ويطلب تحقيق ذلك إجراء الأبحاث والدراسات العلمية في مجال الفوز بالزانة، ومن هنا تبرز مشكلة البحث التي تتحضر في تحليل أداء أفضل قافزى الزانة في مسابقة الزانة في الدورة الأوليمبية لتحديد نسبة مساهمة بعض المتغيرات البيوميكانيكية للفوز بالزانة في المستوى الرقمي في مسابقة الزانة في الألعاب الأوليمبية عام ١٩٩٢م.

٢. هدف البحث : Research purpose

تهدف هذه الدراسة إلى تحديد الخصائص العامة للميكانيكا الحيوية للفوز بالزانة لأداءات القافزين الأوليمبيين في أوليمبياد عام ١٩٩٢م وإضافة معلومات جديدة عن فنية أداء الفوز بالزانة لتحسين المستوى الرقمي الأوليمبي عن طريق تحديد نسبة مساهمة أهم المتغيرات البيوميكانيكية تأثيراً في المستوى الرقمي للفوز بالزانة.

د. صلاح الدين محمد مالك، أستاذ مساعد بقسم التدريب الرياضي، بكلية التربية الرياضية ببور سعيد، جامعة قناة السويس.

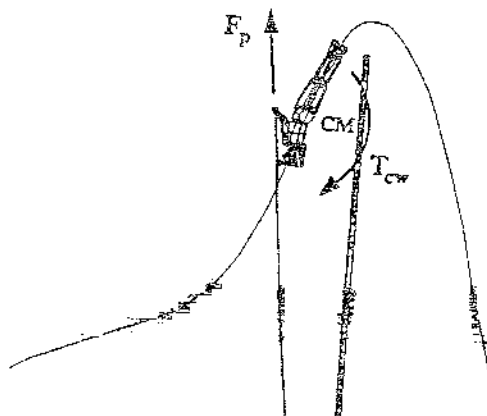
د. علاء الدين حامد مصطفى، مدرس بقسم التدريب الرياضي، بكلية التربية الرياضية ببور سعيد، جامعة قناة السويس.

٣/ القراءات النظرية :

- يذكر جيمس هاى (١٩٧٨م) أنه من أجل أغراض التحليل الارتفاع الذى يصل إليه القافز بالزانة وربما يلاحظ كمجموع لاربعة أجزاء منفصلة :
- ارتفاع مركز ثقل كتلة الجسم عند لحظة أخذ الارتفاع (H_1) شكل (٧).
 - الارتفاع الذى يرفع إليه مركز ثقل كتلة الجسم بحيث يكون فوق الزانة (H_2) شكل (٧).
 - الارتفاع الذى يرفع إليه مركز ثقل كتلة الجسم بحيث يصبح جسمًا حراً (H_3) شكل (٧).
 - الفرق بين أقصى ارتفاع وصل إليه مركز ثقل كتلة الجسم وارتفاع العارضة (H_4) شكل (٧) (٤٤٢ : ٤٤١).

وينحصر هدف القافز بالزانة فى الحصول على أعلى قمة ارتفاع لمركز ثقل كتلة الجسم (CM) مع الدوران الذى يسمح لللاعب بالمرور فوق العارضة بأمان بكل أجزاء جسمه. ويحتاج اللاعب أيضاً بعد الاقتراب السريع إلى جعل الجسم فى وضع مقلوب لأسرع لحظة دفعه الزانة (فردها - استقامتها). وبهذا الأسلوب تكون معظم قوى الزانة مستخدمة لرفع مركز ثقل كتلة القافز (CM) بدون أن تتعطى أى دورانات زائدة، وسوف يحتاج اللاعب إلى بعض قوة دوران للمرور فوق العارضة.

وباختصار على القافز أن يصل للوضع الذى تسمح فيه قوة الزانة بارتفاع مركز ثقله بدفعه رأسية مع الدوران اللازم لعبور الارتفاع المطلوب شكل (١).



شكل (١)

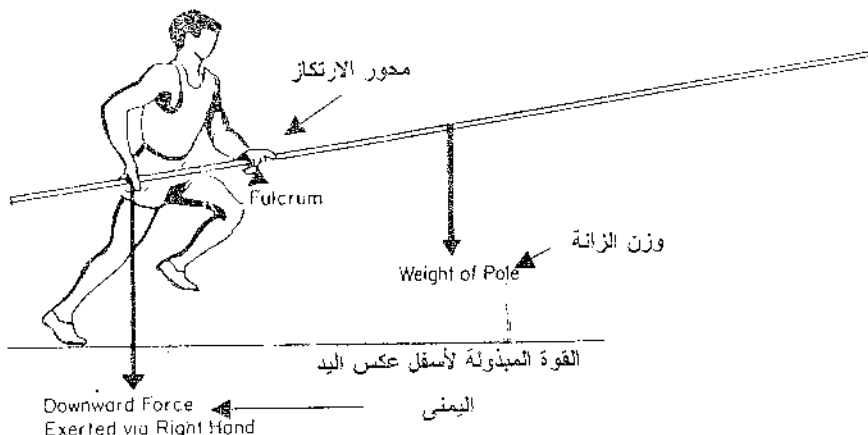
محصلة قوة دفع الزانة على مركز التقل

١/٢ مرحلة الاقتراب : Run-up

يذكر جيمس هاى (١٩٧٨م) أن وارميردام Warmerdam أول رجل ففر (١٥ قدم) وحامل الرقم العالمى المسجل لما لا يقل عن ١٧ سنة، وبمواصلته البحث فى اختلاف مظاهر الجرى نبه إلى أشياء أخرى كالعلاقة حول طول الجرى، ومتوسط السرعة المحققة بعد آخر ٥ قدم جرى والارتفاع الواضح لأفضل القافزين باستخدام الجرى الأطول والتحقق لمتوسط السرعات الأعلى من القافزين الأقل قدرة (٦ : ٤٤٩).

وحيث أن الاقتراب يهدف أساساً إلى الحصول على سرعة أفقية كبيرة أو كمية طاقة حركية تساعد على غرس الزانة بالصندوق، لذا على القافر بالزانة الجرى بسرعة كبيرة، ولكن السرعة الأفقية لا يمكن أن تكون بنفس القوة كما فى الجرى الحر وهذا لسببين : الأول أن اللاعب يحمل الزانة، والسبب الثانى، يجب على اللاعب التركيز والدقة لتحديد وضع الارتفاع. الاقتراب السريع مهم جداً ولكنه ليس كافى للاقفزة الصحيحة. وبمقارنة القرارات الناجحة والفاشلة لنفس القافز ظهر اختلاف بسيط في أنماط الاقتراب الذانى. لذلك عموماً ليس سرعة الاقتراب هي سبب المشكلة. وعلى النقيض من ذلك، الاقتراب السريع جداً عديم الفائدة إذا لم يتخذ متطلبات الوضع اللازم للارتفاع. والخطوة قبل الأخيرة أطول من الخطوة الأخيرة فالخطوة الأخيرة قصيرة حتى يمكن للقافز فيها من رفع مركز ثقله لوضع الارتفاع الذى يهيئ انتقال السياهى من السرعة الأفقية للارتفاع إلى

السرعة الرأسية للأرتفاع، وبهذه الطريقة يتجنب القافز حركات الإيقاف والتغيرات الفجائية في خط سير مركز ثقل الجسم (CM)، ويجب أن تكون قبضة القافز قوية على الزانة لتجنب دوران الزانة عند غرسها بالصندوق وتكون حدود ارتفاع القبضة متناسبة مع مقدار الطاقة المنتجة من القافز، ويساعد تزايد سرعة الاقتراب القافز على استخدام قبضة أعلى، علمًا بأن قوة القبضة تجعل لدى القافز القوة الكافية للتحكم في قوة رد الفعل المترافق الناتجة من الزانة والمؤثرة على الجسم وأن أي زيادة في السرعة لا تصعب تواقي القفزة، كما يجب على القافز أن يضع في الاعتبار أثار ارتفاع القبضة لحظة الأرتفاع، فإذا تم مسك الزانة بعيداً جداً عن قمة القاعدة - عن صندوق الفرس - فإن لحظة حركة القافز والزانة للوضع الرأسى سوف تزيد حركة القافز ويتم قبل وصول الزانة للوضع الرأسى، ومن ناحية أخرى إذا مسكت الزانة بقبضة منخفضة فإنها تجذب إلى الوضع النهائي (الرأسى) المطلوب قبل أن يتمكن القافز من أن يكمل بفاعليه جميع التسلسل الحركي الصمم وذلك لتقدم جسمه أو جسمها في الهواء (٤٤٩ : ٤٤٨).



شكل (٢)

عزم القوة لأسبق المبذول عن اليد العليا للقافز لتوارن

عزم وزن الزانة خلال حمل الزانة (عن هاي)

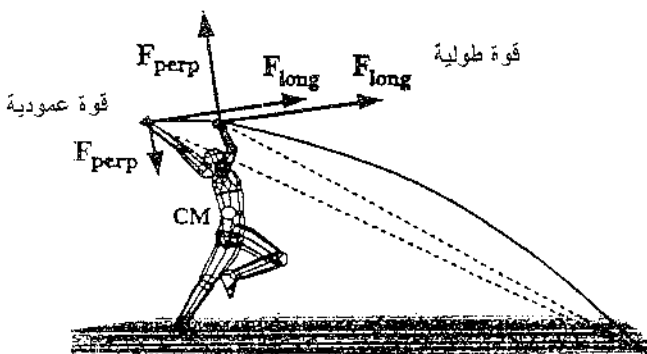
٢/٣ مرحلة الأرتفاع : Take off phase :

يفترض أن بعض الطاقة الحركية سوف تتشتت عند وضع الأرتفاع، ويرجع ذلك إلى ثلاثة أسباب هي : (١) دخول أو غرس الزانة في الصندوق، (٢) قوة الدفع العكسي لقوة رد فعل الأرض على قدم ارتفاع القافز، (٣) فقدان الطاقة نتيجة لشى الزانة.

يجب على القافز توليد دفعاً رأسياً كافياً خلال الفترة القصيرة للارتفاع بينما يقلل من فقدانه للسرعة الأفقية وفي نفس الوقت يجب أن يجعل جسمه في وضع جيد بالنسبة لنقل الطاقة للزانة. وأكثر من ذلك يجب أن يقوم القافز بغرس الزانة قبل أو عند اللحظة التي تحصل فيها سرعة الارتفاع الأفقية إلى أقصاها، ويجب أن يضع القافز قدم الارتفاع مباشرة تحت قمة اليد عند غرس الزانة، إذا وضعت قدم الارتفاع خلف الخط المعمد المار باليد العليا، فإن القافز قد يأخذ وقت أكثر في التأرجح أكثر مما يتمكن من السيطرة عليه بعد ذلك في الفقرة.

بالإضافة إلى ذلك فيبلغ مسافة الارتفاع قد تقلل القوى الرئيسية التي قد يبذلها اللاعب عند الارتفاع جاعلاً ذلك أكثر صعوبة في وضع الزانة في الوضع الرأسى. وإذا كانت القدم بعيدة للأقسام من الخط العمودى المار باليد العليا فإن القافز سيعلنى من تقلص في الارتفاع عندما يقوم بالقفز للأمام ضد القوة الداخلية بواسطة اليد اليمنى.

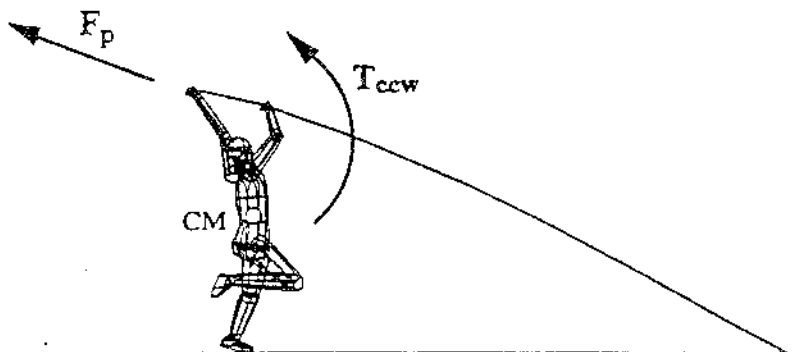
تعطى الزانات المصنوعة من الألياف الزجاجية ارتفاع أعلى في الفقر مقارنة بالزانات المعدنية أو الخشبية المستخدمة سابقاً. وذلك لأنها تسمح باستخدام قبضة اعلى وانحناء أكثر، وتتوفر كثير من الطاقة. والزانات الفiber Fiberglass poles توفر وسائل فعالة لتحويل الطاقة الحركية للقافز إلى طاقة مكتسبة. وأيضاً يمكن استخدام القبضة الواسعة مع الزانات الفiber، حيث تسمح بسهولة التحكم في ثني الزانة. والمسافة بين بد القافز ووضع الذراعين سوف تسمح له ببذل قوة طولية عمودية لبدء الانحناء. انظر شكل (٣).



شكل (٣)

قوة القافز على الزانة من خلال اليدين

إن أهم تأثير لقوة رد الفعل هذه هو الدوران عكس عقارب الساعة (CCW) للأمام مع عزم دوران مركز ثقل كتلة القافز الذي يؤدي إلى بداية دوران القافز في هذا الاتجاه، انظر شكل (٤)، وفي نفس الوقت فإن جهد اليد السفلية تقريباً عمودي على نقطة التماس وهذه القوى سوف تسهل الانحناء الزائنة، وهذا دليل على أن استخدام قبضة يد أوسع على الزانة سوف يسمح بتحكم أفضل وأسرع في الانحناء ومرده إلى المحتوى العمودي لقوة الجهد على الزانة بكل من اليدين في الاتجاهين المتقابلين، وكذلك فإن هذا النوع من القبضة ~~مفيد~~ في المراحل التالية : فإنها تزيد تأرجح الدوران عكس عقارب الساعة (CCW) لمركز كتلة الجسم (CM) في المراحل المبكرة لغرس الزانة وتساعد على تسارع انتقال مركز ثقل كتلة الجسم (CM) عندما يكون مطلوباً فيما بعد، وتساعد على استقامة أسرع للجسم أثناء الدفع لأعلى، ومع ذلك فهناك عيب واحد لوضع اليد المنخفض وهو رد فعل قوة الزانة على هذه اليد يولد دوران عكسي في اتجاه عقارب الساعة (CW) و يجعلها أكثر صعوبة في تحقيق الوضع المطلوب (٦ : ٢٥٥ - ٢٦٠).



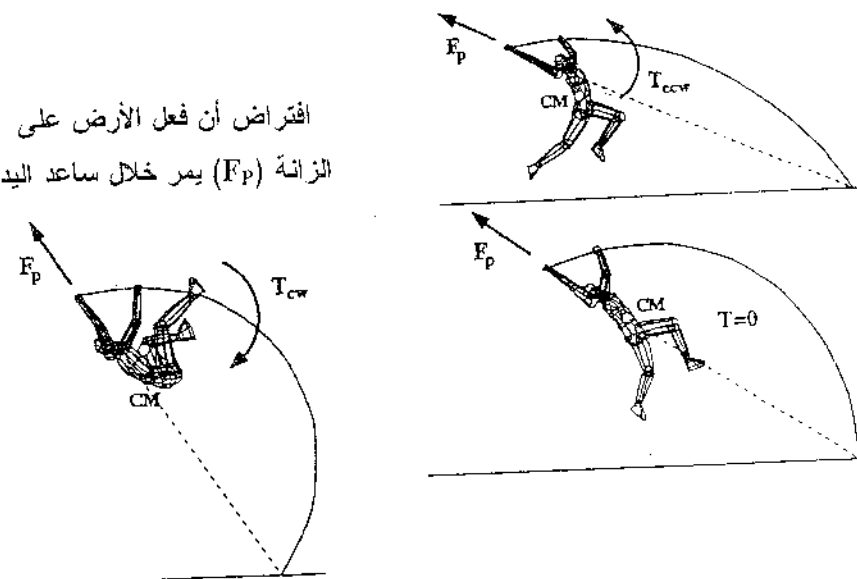
شكل (٤)

مراحل الدوران الأمامي

٣/٣ مرحلة ارتكاز الزانة : Pole support phase :

أثناء الفترة الأولى في ارتكاز الزانة، يتعلق القافز لوقت قصير ليؤخر الحركة العليا لمركز ثقل الكتلة (CM) والدوران عكس عقارب الساعة (CCW) وبهذه الطريقة تستغل بعض كمية الحركة الزاوية من أجل التحكم في كم مساو للحركة الزاوية في الاتجاه العكسي. وهذا التغيير ضروري في هذه اللحظة. بعد هذا الفعل، يتأكد القافز من عبور الزانة للخط الرأسى وفي هذه اللحظة يحتاج الجسم للتحرك لأعلى والدوران استعداداً لعبور العارضة.

يدور كل من القافز والزانة في اتجاهين عكسيين، ويظل القافز بدون دوران حتى لحظة عبور مركز ثقل الكتلة في مستوى عمودي على مسارها، والمحتوى على متجه رد فعل الأرض على الزانة وعند هذه النقطة، تصل قيم عزم الدوران إلى الصفر والعزم علامة على التغير - افترض السباح أن رد فعل قوة الأرض يمر من خلال ساعد قبضة اليد. وفي الحقيقة، يمكن مرورها من خلال أي نقطة بين اليدين - انظر شكل (٥).



شكل (٥)

توليد العزم عن طريق الزانة على القافز خلال مرحلة ارتكاز الزانة. F_p = رد فعل الأرض على الزانة، T_{ccw} = عزم الدوران ضد عقارب الساعة، T_{cw} = عزم الدوران مع اتجاه عقارب الساعة

من هذه النقطة فإن رد فعل القوة سوف يبذل في اتجاه عزم دوران عقارب الساعة (CW) على مركز ثقل الزانة والقافز (CM). وهذا العزم سوف يقلل بالتدريج بطيء كمية الحركة الزاوية للقافز لأسفل في اتجاه عكس اتجاه عقارب الساعة (CCW). لزيادة سرعة دوران الجسم في الوضع المقلوب فإن القافز يمكنه أن يزيد من سرعته الزاوية بدقabil عزم القصور الذاتي أو بمعنى آخر تكور القافز لدرجة تزيد السرعة لأعلى وللأمام في اتجاه عكس اتجاه دوران عقارب الساعة (CCW) فعل هذا التكور له أيضاً

تأثير آخر، بما أن الرجلين (وكذلك مركز ثقل الكتلة) تتقارب بعيد عن قاعدة الزانة (مثل، بعيد عن الصندوق)، فإن رد فعل اليدين يميل نحو الاقتراب من الصندوق، وهذا يزيد من قوة الزانة ويسبب احناء الزانة أكثر.

قبل أن يقل عزم الدوران في اتجاه عقارب الساعة (CW) المؤثر على القافز بشكل كافى لجعل السرعة الزاوية للاعب تساوى صفر "تغير العلامات"، على القافز أن يكون فى أعلى وأقرب وضع لنصف لفة ومستعد لترك الزانة والمرور فوق العارضة.

عندما تبدأ الزانة في الامتداد فإن القافز يكون قد وصل إلى أعلى وضع مقلوب. وهنا تصل مرحلة القصور الذاتي إلى أضعف مستوياتها. وسوف تعيد الزانة معظم الطاقة المخزنة كالطاقة المرنة Elastic energy للقافز في شكل طاقة حركية، وهذه الطاقة الحركية وبالتالي تحول لطاقة كامنة، والتي تكون مساوية لرفع مركز ثقل كتلة القافز (CM) وأثناء إعادة الزانة للطاقة المخزنة يمكن للقافز إضافة السرعة للحركة عن طريق السحب والدفع - التكوير والمد - بالطرف السفلى للجسم والحوض ضد الزانة (٤٥ : ٦).

٤/٣. مرحلة الطيران الحر : Free flight phase :

لكي يعود القافز عبرأً ناجحاً لأقصى ارتفاع، يجب أن يكتسب بعض الحركة السزاوية في اتجاه عقارب الساعة (CW)، ولكن يحصل على ذلك، يجب عليه أن يتلقى رد فعل صغير من قوة الزانة كما ذكر سابقاً. ورد فعل بعد عن قوة المركز سوف يوفر أفضل سرعة ارتفاع ممكنة مع دوران بسيط في اتجاه عقارب الساعة (CW) شكل (٥)، يحدد منحني طيران القطع المكافى لمركز ثقل الكتلة عن طريق السرعة الرأسية والسرعة الأفقية، ارتفاع مركز ثقل الكتلة قبل الانطلاق وزاوية ترك القافز للزانة. كمية الحركة الزاوية للافافر والسرعة الأفقية لمركز ثقل الكتلة تبقى ثابتة عقب هذه النقطة. لذلك فإن التداخل لكل من الحركات السابقة سوف يجعل الجسم في ارتفاع ملائم ومسافة أفقية مناسبة لستعادة العارضة، وفي وضع أفضل أثناء تटدة العارضة وبالكم والاتجاه الصحيح لسرعة الدوران ومن ناحية أخرى فإن الخطأ في الحركات السابقة يسبب اتساع أو ارتفاع لمركز ثقل الكتلة وكذلك للوضع الخاطئ للجسم فوق العارضة أو سرعة غير ملائمة وكذلك كمية حركة غير مناسبة.

٤/ إجراءات البحث : Research Procedure :

٤/١ منهج البحث : Research Methodology :

استخدم المنهج الوصفي ل المناسبته لطبيعة هذه الدراسة.

٤/٢ عينة البحث : Research sample :

تم اختيار عينة البحث بالطريقة العدمية، وشملت عدد ثمانية أفضل فائزين بالزانة في الدور النهائي في دورة الألعاب الأولمبية الصيفية (١٩٩٢م) المقامة ببرشلونة Barcelona Summer Olympic Games خصائص عينة البحث.

جدول (١)

خصائص عينة البحث

(ن = ٨)

المسافة الأفقية بين العارضة والزانة في الوضع العمودي (م)	طول الزانة (م)	ارتفاع CM (م)	رقم الحاولة	ارتفاع العارضة (م)	الوزن (كجم)	الطول (م)	الدولة	الاسم
٠,٦٨	٥,١٠	٥,٩١	الأولى	٥,٨٠	٧٤	١,٩٣	الفريق المتحد	تاراسوف Tarassov
٠,٥٧	٥,١٦	٥,٨٩	الثالثة	٥,٨٠	٧٥	١,٩٠	الفريق المتحد	تراندينكوف Trandenkov
٠,١١	٤,٩٦	٥,٧٧	الثانية	٥,٧٨	٧٤	١,٧٨	أسبانيا	كاريكاشيكو Carcia-Chico
٠,٧٩	٥,٠٧	٥,٧٨	الثالثة	٥,٧٥	٧٦	١,٨٠	أمريكا	تاربننج Tarpenning
٠,٧٣	٤,٩٢	٥,٧٨	الأولى	٥,٦٥	٧٥	١,٨٢	أمريكا	فولتز Volz
٠,٨١	٥,١٣	٥,٧٥	الثانية	٥,٦٠	٨٠	١,٨٢	فنلندا	بيلتونيري Peltonieri
٠,٨٨	٤,٨٣	٥,٧١	الأولى	٥,٥٥	٧٦	١,٧٦	فرنسا	كوليت Collet
٠,٨١	٥,١٦	٥,٦٦	الثانية	٥,٤٠	٧٧	١,٨٢	إسرائيل	كراسنوف Krasnow

يوضح الجدول (١) خصائص عينة البحث من حيث الطول والوزن والجنسية والمستوى الرقمي للفز بالزانة، ورقم المحاولة، وارتفاع CM، وطول الزانة، والمسافة الأفقية بين العارضة والزانة في الوضع العمودي.

٣/٤ وسائل جمع البيانات : Data collection methods :

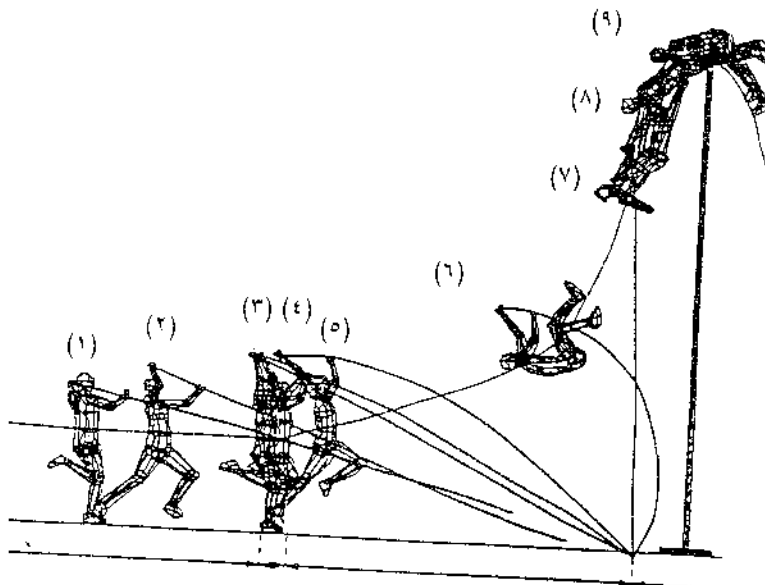
١/٣ حصل الباحثان على فيلم تم تصويره في نهائى مسابقة الفز بالزانة لأفضل ثمانية فائزين في دورة الألعاب الأوليمبية الصيفية عام (١٩٩٢م) المقامة ببرلين، مع مراعاة مع ما يلى : تم استخدام التصوير بالفيديو باستخدام كاميرتين فيديو PAL بنظام (S-VHS). وضعت الكاميرا الأولى على بعد ٥٠ متر، الكاميرا الثانية على بعد ٦٠ متر من صندوق الفرس وكانتا على ارتفاع مناسب لكشف داخل الصندوق.

كانت محاور رؤية كل من الكاميرتين على يمين طريق الاقتراب لللاعبين مكونة زاوية ٦٠ درجة. مجال رؤية كل من الكاميرتين كان تقريرياً ٩ متر أفقي و ٦ متر رأسي. استخدمت أجهزة ضبط تزامن غلق وتشغيل الكاميرتين من خلال أجهزة مولد الشفرة الزمنية (Alpermann-Velte- TC30). كما تم وضع الساعة على صورة الفيديو باستخدام أجهزة Alpermann-Velte-TC30 لقراءة وضع الزمن على الصورة لتسهيل عملية التحليل (من الخارج) من الصورة. كما تم معالجة الفراغ باستخدام الاحاديث المعروفة للشري والحجم من خلال $6 \times 3 \times 1$ متر، واستخدم تكنيك الانتقال الخطى المباشر (D.L.T) The direct linear transformation technique عنصراً لحساب احداثيات الموقع ثلاثي الأبعاد (المجسم) لاثنين وعشرون نقطة في الجسم (٢٢ علامة في جسم اللاعب). استخدمت شريحة مصفوفة الدالة الخماسية Quintic spline function لتهذيب الاختلافات. كان خطأ متوسط الجذر التربيعي (RMS) لل نقاط ثلاثة الأبعاد المقترحة على اتجاه ازاحة الكتلة على المحور الأفقي ($x = ٥٠٠٥$ متر)، والمحور الرأسى ($y = ٨٠٠٠$ متر)، والمحور السهمي ($z = ٣٠٠٠$ م) وكان مجموع RMS = (١٠٠٠ متر).

٤/٢ الإجراءات التحليلية : Analysis procedures :

بعد رؤية الثمانية محاولات لقفازين بالزانة، وصلاحيتها للتحليل، تم تقسيم المراحل الفنية النموذجية لأداء القفز بالزانة وعرضها في الشكل (٦) كما يلى :

- ١ - ارتكاز الخطوة قبل الأخيرة.
- ٢ - خطوة الارتفاع.
- ٣ - الارتكاز الأخير.
- ٤ - غرس الزانة.
- ٥ - الارتفاع.
- ٦ - أقصى انتقاء للزانة.
- ٧ - فرد الزانة.
- ٨ - ترك الزانة.
- ٩ - قمة ارتفاع CG.



شكل (٦)
مراحل القفز بالزانة

٤/٤ تحليل فيلم الفيديو : Film analysis :

تم تحليل كل من أداءات القفازات بالزانة الثمانية لقفازين فيد الدراسة باستخدام Peak Performance برنامجه التحليل الحركي الآلي Winanalyze automatic motion analysis version 1.4 (يسرعة 60Hz، ومبرمج صورى (كارت شاشة) مع على الأقل 256 لون ودقة ٦٠٠ × ٨٠٠ نقطة (pixel).

حللت أفلام الكاميرتين بسرعة ٥٠ هرتز = لفة في الثانية تم وضع علامات مرقمة على ٢٢ نقطة على الجسم في كل كادر من الكاميرتين وكانت دقة الرقم ١,٠٢٤ نقطة أفقيّة في ٣٦٠ نقطة رأسية. كما تم حساب موضع مركز ثقل كتلة الجسم باستخدام طول وزن اللاعب وبيانات ديمبستر Dempster للجثث (١٩٥٥م) (٥) مع الجذع والرأس كل على حدة تبعاً لبيانات لكلاوزير Clauser وماك كونفيل ويونج McConville & Young (١٩٦٩م) (٦).

حسب عزم القصور الذاتي للأعضاء حول المحور الأفقي من خلال بيانات ويست Whitesett (١٩٦٢م) (٧).

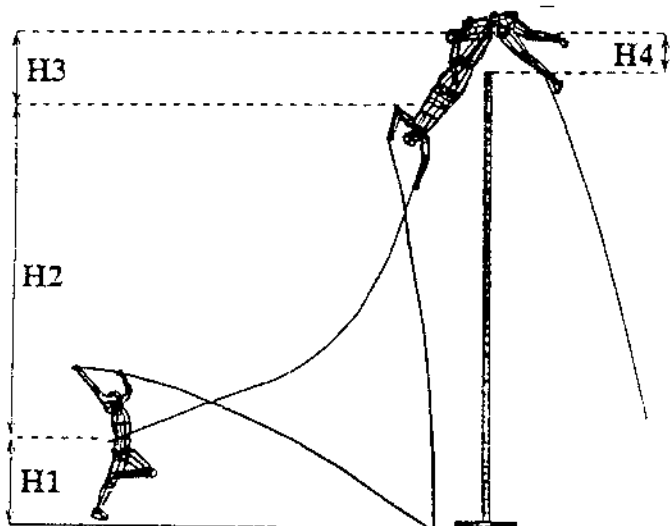
حسبت بيانات متعددة لتحليل كل قفزة مع التأكيد على التسع أقسام في الشكل (٦) حدد ظهور لحظة الارتفاع في زمن ١٠ ثوان لتسهيل المقارنة بين القافزين وتم تحليل أربع مراحل في كل قفزة وهم الاقتراب Run-up، الارتفاع take off، وغرس الزانة pole support، الطيران الحر free flight ومن أجل التحليل اعتبر كل من اللاعب والزانة نظام واحد ونتيجة لذلك، فإن التداخل بين القافز بالزانة لا يمكن تحليله كذلك مرحلة الاقتراب حددت في آخر خطوتين. وعموماً فإن وضع الارتفاع يتم احتسابه في أول منظر والذي تظهر فيه قدم اللاعب فوق الأرض، فإن نقطة آخر ارتكاز لقدم تعرف على أنها أول قادر لقدم اللاعب ملمسة للأرض لحظة غرس الزانة داخل الصندوق وهي الكادر الذي تظهر فيه الزانة متصلة بالصندوق.

٤/ متغيرات الأداء : Performance variables :

حدد الباحثان المتغيرات التالية لدراسة وتحليل مراحل كل من الاقتراب، الارتفاع، ارتكاز الزانة، مرحلة الطيران الحر، انظر شكل (٦).

- ١ تم تحليل آخر خطوتين ارتكاز خلال الاقتراب، والأوضاع التي تم تحليلها في هذه المرحلة هي الخطوة قبل الأخيرة والخطوة الأخيرة للارتفاع لحظة الارتفاع.
- ٢ تم تحليل آخر نقطة ارتكاز، وغرس الزانة وأعلى ارتفاع.
- ٣ حللت مرحلة ارتكاز الزانة وشملت أقصى ثني للزانة، ومد الزانة وترك الزانة.

-٤ حللت مرحلة الطيران الحر، وشملت ترك الزانة، وأعلى ارتفاع لمركز ثقل الكتلة، كما تتم استخدام التقسيم الرباعي لأخر ارتفاع للقفزة الذي تم تعريفه بواسطة هاى (١٩٨٥ م) (٦ : ٤٣٣) شكل (٧).



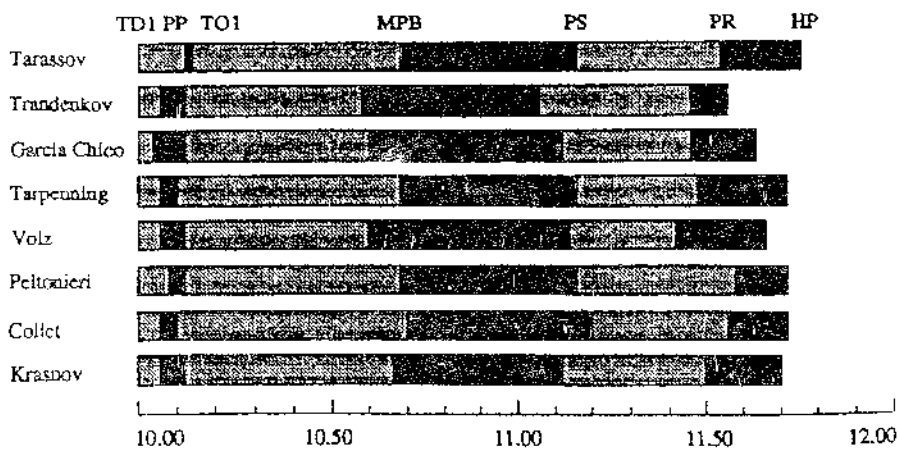
شكل (٧)

مدى الارتفاع H_1 = ارتفاع مركز الثقل عند الارتفاع، H_2 = الفرق بين ارتفاع مركز الثقل من الارتفاع حتى ترك الزانة، H_3 = الفرق بين ارتفاع مركز الثقل عند ترك الزانة وقمة ارتفاع مركز الجسم خلال المروق على العارضة، H_4 = الفرق بين قمة ارتفاع مركز الثقل خلال المروق من فوق العارضة وارتفاع العارضة.

٥ / النتائج ومناقشتها :

٥/١ عرض النتائج :

لعرض السرعة النسبية لكل قفزة (من الخطوة قبل الأخيرة للارتفاع حتى أعلى ارتفاع) أنشأ الباحثان رسم بياني تراكمي للعارضه شكل (٨)، يوضح هذا الشكل الزمن الجزئي بين حدثين متتالين بالإضافة إلى الزمن الكلي لكل قافز.



شكل (٨)

الزمن بالثوانى لكل حدث ظهر بالنسبة لخطوة قبل الأخيرة للارتفاع عند (١٠٣) حيث
 T_{D1} = الخطوة قبل الأخيرة للارتفاع، T_{O1} = الخطوة الأخيرة، P_p = غرس الزانة،
 MP_B = أقصى انحناء للزانة، PS = مد الزانة، PR = ترك الزانة،
 HP = أقصى ارتفاع

تعرض الأشكال (٩)، (١٠)، (١١) للفائز تاراسوف Tarassov نموذج للمتغيرات التي تم الحصول عليها من عملية التحليل لكل فائز من أفراد عينة الدراسة. ويعرض الشكل (٩) النموذج التخطيطي للصور المتتابعة لتحليل كل محاولة. ويمثل الشكل (١٠) كل من السرعات الأفقية والرأسيّة على التوالي لمركز ثقل كتلة القافز بالنسبة للزمن. أما الشكل (١١) فيمثل عزم القصور الذاتي (Ix)، وكمية الحركة الزاوية ($\bar{H}x$) للفائز حول المحور الأفقي المار بمركز ثقل الكتلة بالنسبة للزمن. كلا المتغيرات (Ix)، ($\bar{H}x$) غيرت عن طريق طول وزن القافز. الشكلين (١١، ١٠) المراحل الزمنية فيها أشير إليها عن طريق الخطوط المتقطعة مع اختزال الكسور في كل مرحلة. الرسم البياني المنفرد أتى بعرض متغيرات الزانة لكل فائز انظر شكل (١١) كمثال للفائز تاراسوف Tarassov الرسم البياني اشتمل على طول ووتر الزانة (PC)، والزاوية بين (PC) والمستوى الأفقي، السرعة الزاوية لوتر الزانة بالنسبة للزمن. المراحل الزمنية يدل عليها الخط العمودي المتقطع.

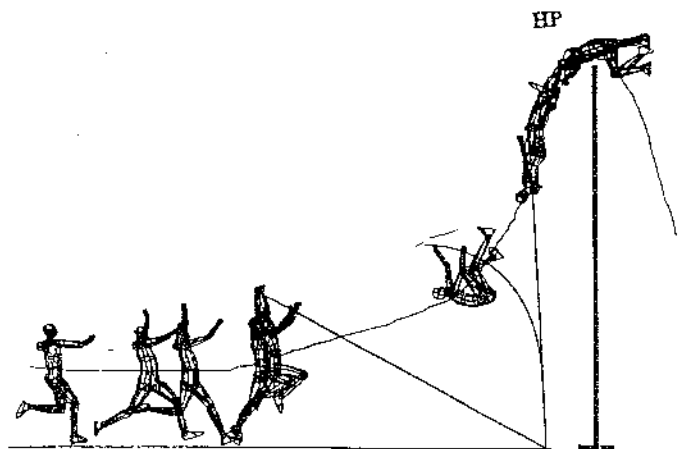
يعرض الجدول (٢) قيم ارتفاع مركز ثقل كتلة الجسم لكل فائز (CM) عند الخطوة قبل الأخيرة (٢٤) والخطوة الأخيرة للارتفاع (٤٥)، لحظة الارتفاع (٤٦)، وأخر

نقطة ارتكاز (٦) واستمل أيضاً على طول آخر خطوة (١)، اتساع القبضة (١). كان متوسط طول آخر خطوة (٢،٠٢ متر \pm ١١)، ومتوسط اتساع قبضة اليد كان (٠،٥٨ متر \pm ٠،٠٥)، وكان متوسط ارتفاع CM تبعاً لمسار القفز الجيد (١،٢٣ \pm ٥٩،٩٦) من ارتفاع القافز عند الخطوة قبل الأخيرة (٢)، وظل ارتفاع CM عند نفس المستوى (المتوسط ١،٠٥ \pm ٥٩،٥٤)، ثم تغير إلى (١،٠٨ \pm ٦٠،٣٩) حتى أخر نقطة ارتكاز (٣)، وفي النهاية وصل إلى (٠،٢٠ \pm ٦٩،٢٠) عند آخر نقطة ارتكاز (٤).

ويتبين جدول (٣) كلا السرعات الأفقية (٧)، والرأسية (٨) لكل قافز ومحصلة السرعات عند أخر نقطة ارتكاز (٩) وكان مداها من (٤،٧٤ م/ث) إلى (٨،٢١ م/ث)، متوسطها الحسابي (٧،٧ م/ث) والانحراف المعياري (٢،٢٦ \pm ٠،٠٠)، محصلة السرعات عند ترك الزانة (١٠) مداها من (٢،١٠ م/ث) إلى (٢،٣٣ م/ث) ومتوسطها الحسابي (٢،٢٠ م/ث) وانحرافها المعياري (٣،٣٧ \pm ٠،٣٧).

يعرض الجدول (٤) التقسيم الرباعي للارتفاع للقفزة لكل قافز. ويمكن تقدير الاختلافات في الارتفاع بحوالى ٢٥ سم عند المقارنة بين أفضل قفزة وأقل قفزة. يعرض الجدول (٥) كل من قصر قوس الزانة عند أقصى انحناء للزانة (MPB)، أقصى كمية حركة زاوية، وكمية الحركة الزاوية عند ترك الزانة (PR)، والزاوية بين قوس الزانة مع الوضع الأفقي عند ترك الزانة (PR)، المسافة الأفقية بين مركز ثقل كتلة القافز والعارضة.

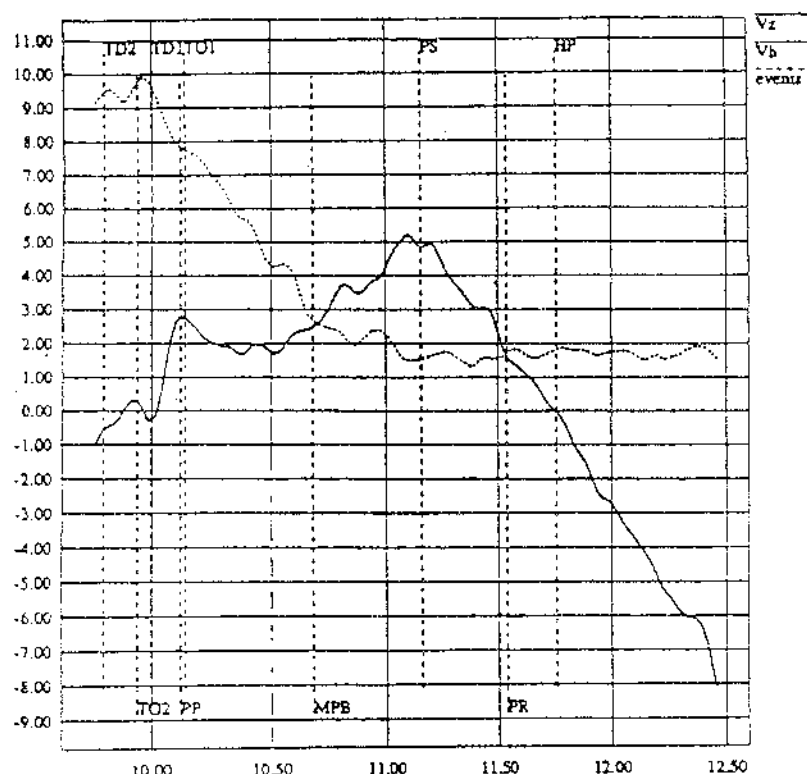
وفي النهاية حسب الوضع الجانبي لمركز ثقل الكتلة بالنسبة إلى خط الوسط للجري، وعرض هذا الوضع الجانبي لكل مرحلة أداء في الجدولين (٦،٧).



شكل (٩)

أعلى ارتفاع (HP) = ٥,٩١ متر، ارتفاع العارضة = ٥,٨٠ متر للفافر Tarassov

m/s



شكل (١٠)

سرعات القافز Tarassov

جدول (٢)

المتوسط الحسابي والانحراف المعياري لكل من طول الخطوة،

اتساع القبضة وارتفاعات مركز ثقل الكتلة (بالمتر)

(ن = ٨)

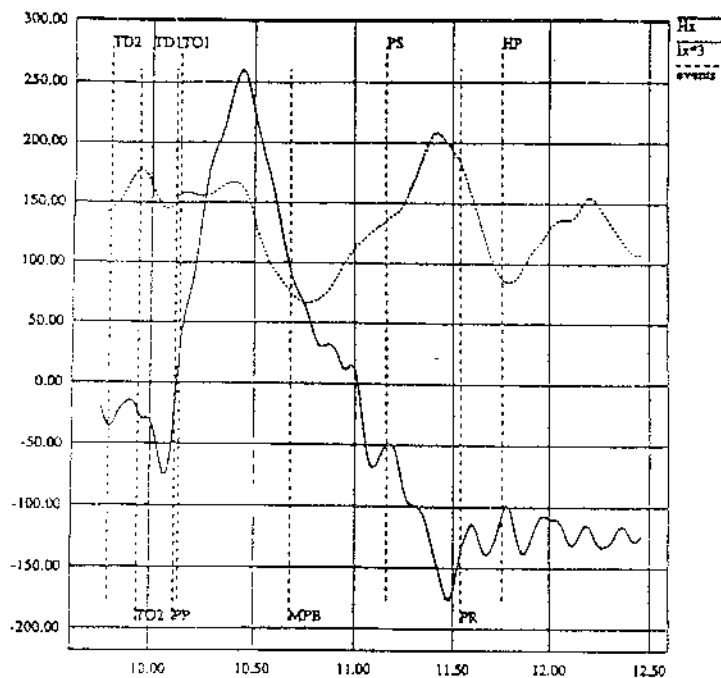
\times_6	\times_5	\times_4	\times_3	\times_2	\times_1	الاسم
١,٤٠	١,٢٠	١,٢٠	١,١٨	٠,٦٠	٢,١٧	Tarassov
١,٣٠	١,٢٠	١,٢٠	١,٢٠	٠,٦٣	٢,٢٠	Trandenko
١,٢٠	١,١٠	١,١٠	١,١٠	٠,٦٠	٢,٠٠	Garcia-Chico
١,٢٠	١,١٠	١,١٠	١,١٠	٠,٦١	٢,٠٠	Tarpenning
١,٢٠	١,١٠	١,١١	١,١٠	٠,٦٠	١,٩٠	Volz
١,٣٠	١,١٠	١,١٠	١,١٠	٠,٦٠	٢,٠٠	Peltonieri
١,٢٠	١,١٠	١,٠٠	١,٠٠	٠,٥٠	٢,٠٠	Collet
١,٣٠	١,١٠	١,١٠	١,١٠	٠,٥٠	١,٩٠	Karssov
١,٢٦٠	١,١٣٠	١,١١٠	١,١١٠	٠,٥٨٠	٢,٠٢٠	س
٠,٠٧٤٠	٠,٠٤٦٠	٠,٠٦٤٠	٠,٠٦٠٠	٠,٠٥٠٠	٠,١١٠٠	ع

\times_1 = طول الخطوة الأخيرة، \times_2 = اتساع القبضة، \times_3 = المسافة الرأسية بين CM وقمة ارتكاز القدم عند الخطوة قبل الأخيرة، \times_4 = المسافة الرأسية بين CM وقمة ارتكاز القدم عند الخطوة الأخيرة للارتفاع، \times_5 = المسافة الرأسية بين CM وقمة ارتكاز القدم عند لحظة الارتفاع، \times_6 = المسافة الرأسية بين CM وقمة آخر نقطة ارتكاز.

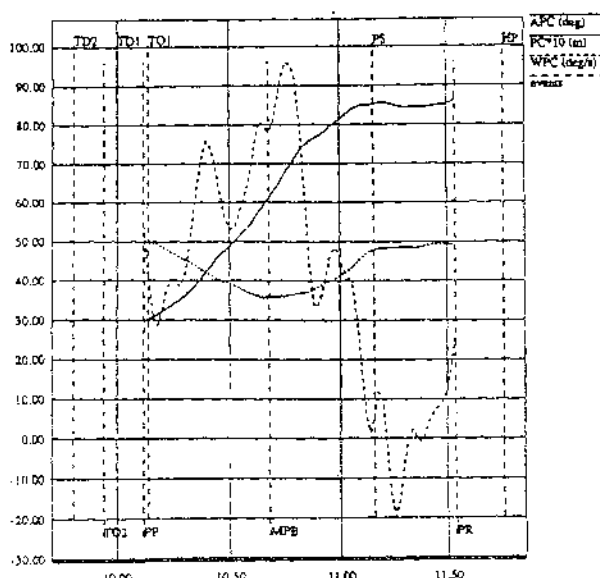
المتوسط والآخر لغى المعياري لمتغيرات السرعة الافتية والرسمية ومخصائصها خلال الفوز بالراتب لأفراد عينة البحث (ع/أ).

x_{1r}	x_{1v}	R_2	x_{11}	x_{1+}	R_1	x_{λ}	x_{κ}	x_v	λ
$\alpha, \gamma,$	$\gamma, \zeta,$	$\gamma, \gamma,$	$\gamma, \kappa,$	$\gamma, \eta,$	$\gamma, \Lambda,$	$\gamma, \epsilon,$	$\gamma, \eta,$	$\gamma, \Lambda,$	Tarasov
$\alpha, \gamma,$	$\gamma, \gamma,$	$\gamma, \gamma,$	$\gamma, \eta,$	$\gamma, \epsilon,$	$\gamma, \Lambda,$	$\gamma, \epsilon,$	$\gamma, \eta,$	$\gamma, \Lambda,$	Trandelenko
$\alpha, \gamma,$	$\gamma, \gamma,$	$\gamma, \gamma,$	$\gamma, \eta,$	$\gamma, \epsilon,$	$\gamma, \Lambda,$	$\gamma, \epsilon,$	$\gamma, \eta,$	$\gamma, \Lambda,$	Garcia-Chico
$\epsilon, \eta,$	$\gamma, \gamma,$	$\gamma, \gamma,$	$\gamma, \eta,$	$\gamma, \epsilon,$	$\gamma, \Lambda,$	$\gamma, \epsilon,$	$\gamma, \eta,$	$\gamma, \Lambda,$	Tarpenberg
$\theta, \epsilon,$	$\gamma, \gamma,$	$\gamma, \gamma,$	$\gamma, \eta,$	$\gamma, \epsilon,$	$\gamma, \Lambda,$	$\gamma, \epsilon,$	$\gamma, \eta,$	$\gamma, \epsilon,$	Voltz
$\epsilon, \eta,$	$\gamma, \gamma,$	$\gamma, \gamma,$	$\gamma, \eta,$	$\gamma, \epsilon,$	$\gamma, \Lambda,$	$\gamma, \epsilon,$	$\gamma, \eta,$	$\gamma, \epsilon,$	Peltonieri
$\alpha, \gamma,$	$\gamma, \gamma,$	$\gamma, \gamma,$	$\gamma, \eta,$	$\gamma, \epsilon,$	$\gamma, \Lambda,$	$\gamma, \epsilon,$	$\gamma, \eta,$	$\gamma, \epsilon,$	Collet
$\alpha, \gamma,$	$\gamma, \gamma,$	$\gamma, \gamma,$	$\gamma, \eta,$	$\gamma, \epsilon,$	$\gamma, \Lambda,$	$\gamma, \epsilon,$	$\gamma, \eta,$	$\gamma, \epsilon,$	Karssov
$\epsilon, \eta,$	$\gamma, \gamma,$	$\gamma, \gamma,$	$\gamma, \eta,$	$\gamma, \epsilon,$	$\gamma, \Lambda,$	$\gamma, \epsilon,$	$\gamma, \eta,$	$\gamma, \epsilon,$	un
$\epsilon, \eta,$	$\gamma, \gamma,$	$\gamma, \gamma,$	$\gamma, \eta,$	$\gamma, \epsilon,$	$\gamma, \Lambda,$	$\gamma, \epsilon,$	$\gamma, \eta,$	$\gamma, \epsilon,$	E+

* $x_7 =$ متوسط السرعة الأفقية لآخر خطوة، $(x_8) =$ السرعة الأفقية لمركز ثقل كتلة الجسم عند آخر نقطة للارتفاع، $x_9 =$ السرعة الأفقية لمركز ثقل كتلة الجسم عند لحظة الارتفاع، $x_{10} =$ السرعة الرأسية لمركز ثقل كتلة الجسم عند آخر نقطة للارتفاع، $R_1 =$ محصلة السرعة الأفقية لآخر خطوة ارتفاع، $x_{11} =$ السرعة الأفقية خلال مرحلة الطيران الحر، $x_{12} =$ السرعة الرأسية خلال مرحلة الطيران الحر، $x_{13} =$ متحصلة السرعة خلال مرحلة الطيران الحر، $x_{14} =$ أقصى سرعة رأسية لمركز ثقل كتلة الجسم، $x_{15} =$ المتوسط الحسابي، $x_{16} =$ الأصغر في المعياري، $n =$ عدد الفراز عينة البحث.



شكل (١١)
كمية الحركة الزاوية للفافر
Tarassov



شكل (١٢)
بيانات زانة الفافر
Tarassov

جدول (٤)

المتوسط الحسابي والاحراف المعياري للأربعة تقسيمات لارتفاع
النهائي للقفز بالزانة (بالเมตร)

\bar{x}_{17}	x_{17}	x_{15}	x_{14}	Y	الاسم
٠,١١	٠,١٣	٤,٤٠	١,٤٠	٥,٩١	Tarassov
٠,٠٩	٠,٠٨	٤,٥٠	١,٣٠	٥,٨٩	Trandenko
٠,١٢	٠,١٣	٤,٤٠	١,٢٠	٥,٧٧	Garcia-Chico
٠,١٣	٠,٣٠	٤,٣٠	١,٢٠	٨,٧٨	Tarpenning
٠,١٤	٠,٢١	٤,٣٠	١,٢٠	٥,٧٨	Volz
٠,١٥	٠,٠٣	٤,٤٠	١,٣٠	٨,٧٥	Peltonieri
٠,١٨	٠,٠٦	٤,٥٠	١,٢٠	٥,٧٤	Collet
٠,٢٦	٠,١٤	٤,٣٠	١,٣٠	٥,٦٦	Karssov
٠,١٠	٠,١٤٠	٤,٤٠	١,٣٠	٥,٨٠	س
٠,٠٧٩٠	٠,٠٨٧٠	٠,٠٨٤٠	٠,٠٧٤٠	٠,٠٨١٠	ع
ـ	ـ	ـ	ـ	ـ	ـ

* Y = قيمة ارتفاع مركز ثقل كتلة الجسم، \bar{x}_{17} = ارتفاع مركز ثقل كتلة الجسم عند آخر نقطة ارتكاز، x_{15} = الفرق بين ارتفاع مركز ثقل كتلة الجسم عند آخر نقطة ارتكاز وعند ترك الزانة، x_{14} = الفرق بين ارتفاع مركز ثقل كتلة الجسم عند ترك الزانة وأعلى ارتفاع، $x_{17} - \bar{x}_{17}$ = الفرق بين ارتفاع مركز ثقل كتلة الجسم عند قيمة ارتفاع مركز ثقل كتلة الجسم، ارتفاع العارضة.

جدول (٥)

المتوسط الحسابي والانحراف المعياري لكمية الحركة الزاوية للفائز وبيانات الزانة من
أقصى انحصار حتى أعلى ارتفاع خلال القفز بالزانة لأفراد عينة البحث

(ن = ٨)

$x_{\text{م}}^{\text{ز}}$ (ث)	$x_{\text{م}}^{\text{ز}}$ (متر)	$x_{\text{م}}^{\text{ز}}$ (ث)	$x_{\text{م}}^{\text{ز}}$ (كميّة ث)	$x_{\text{م}}^{\text{ز}}$ (كميّة ث)	$x_{\text{م}}^{\text{ز}}$ (متر)	الاسم
١٠,٥	٠,١٢	٨٦,٠٠	١٤٣-	٢٦١,٦٠	١,٥-	Tarassov
١٠,٤٠	٠,٠٧	٩١,٤٠	١٠٠-	٢٧١,٨٠	١,٤٠	Trandenko
١٠,٤	٠,٠٣-	٨٨,٠٠	١٥,-	٢٥٢,٧٠	١,٣٠	Garcia-Chico
١٠,٥٠-	٠,٠٦-	٨٩,٠٠	١٥,-	٢٢٦,٢٠	١,٤-	Tarpenning
١٠,٣٠	٠,١٧	٨٤,٠٠	١٤٩-	٢٦,٠٠	١,٣-	Volz
١٠,٤٠	٠,٠٩	٩٢,٠٠	١١٧-	١٩,٤٠	١,٣-	Peltonieri
١٠,٤٠	٠,٠٨	٩٠,٠٠	١٢٨-	٢٦٦,٠٠	١,٣-	Collet
١٠,٤٠	٠,١٤	٨٥,٠٠	١٢٢+	٢٠١,٢٠	١,٣-	Karssov
١٠,٤١٢	٠,٠٧٠	٨٨,١٣٠	٩٧,٩٠-	٢١٦,٢٠	١,٣-	
٠,٦٤٠	٠,٨٠	٢,٩٠	٩٤,٦٤٠	٣١,٦٤٠	٠,٦١٩٠	متوسط

$x_{\text{م}}^{\text{ز}}$ = وتر الزانة عند أقصى ثني للزانة، $x_{\text{م}}^{\text{ز}}$ = أقصى كمية حركة زاوية للفائز حول المحور الأفقي المار بمركز ثقل كتلة الجسم، والمعليرة بالوزن: $IC = IC(1,00) / (H^2 \cdot W)$ ، $x_{\text{م}}^{\text{ز}}$ = كمية الحركة الزاوية خلال الطيران الحر، $x_{\text{م}}^{\text{ز}}$ = زاوية وتر الزانة مع الخط الأفقي عند ترك الزانة، $x_{\text{م}}^{\text{ز}}$ = المسافة الأفقيّة بين مركز ثقل كتلة الجسم والعارضة عند ترك الزانة (وتشير الاشارة السالبة إلى أن مركز ثقل كتلة الجسم يبقى مدعماً بالجري)، $x_{\text{م}}^{\text{ز}}$ = زمن أقصى كمية حركة زاوية للفائز حول المحور الأفقي المار بمركز ثقل كتلة الجسم، س = المتوسط الحسابي، م = الانحراف المعياري.

جدول (٦)

المتوسط الحسابي والانحراف المعياري لأوضاع مسار مركز الكثلة من لحظة الارتفاع حتى
آخر نقطة ارتكاز (بالمتر)

(ن = ٨)

*LATCMTO ₂	LATCMPP	LATCMTD ₁	الاسم
٠,١٣	٠,١٣	٠,١٥	Tarassov
٠,١٠	٠,٠٨	٠,٠٦	Trandenko
٠,٠٣	٠,٠٣-	٠,٠٣-	Garcia-Chico
٠,٠٤-	٠,٠٧-	٠,٠٦-	Tarpenning
٠,١٧	٠,١٨	٠,٣٠	Volz
٠,١٠	٠,١٠	٠,١٣	Peltonieri
٠,٠٩	٠,٠٨	٠,٠٩	Collet
٠,١٢	٠,١٤	٠,١٦	Karssov
٠,٠٩٠	٠,٠٨٠	٠,١	س
٠,٠٦٥٠	٠,٠٨٥٠	٠,١١٤٠	ع

* = وضع مسار CM بالنسبة لخط المنصف للجري عند لحظة الارتفاع.

= وضع مسار CM بالنسبة لخط المنصف للجري عند لحظة غرس الزانة.

= وضع مسار CM بالنسبة لخط المنصف للجري عند آخر نقطة ارتكاز.

لارتكاز، س = المتوسط الحسابي، ع = الانحراف المعياري.

جدول (٧)

المتوسط الحسابي والاحراف المعياري لأوضاع مسار مركز الكتلة من
أقصى انحاء للزانة حتى أعلى ارتفاع (بالمتر)

(ن = ن)

LATCMHP	LATCMPR	LATCMPS	LATCMMPB	الاسم
٠,٤٢-	٠,٤١-	٠,١٥-	٠,٠٥	Tarassov
٠,١٧	٠,١٧	٠,١٥	٠,١٢	Trandenko
٠,١٨-	٠,١٥-	٠,٠٥-	٠,٠٧	Garcia-Chico
٠,٠٣	٠,٠٣	٠,٠٥	٠,٠٢	Tarpenning
٠,٣٩	٠,٣٣	٠,٢٦	٠,١٢	Volz
٠,٧٤	٠,٦٢	٠,٣٥	٠,١٠	Peltonieri
٠,٠٢-	٠,٠٦	٠,٠٤	٠,٠٦	Collet
٠,٢٩-	٠,٢٢-	٠,٠٨-	٠,٠٣	Karssov
٠,٠٥٠	٠,٠٦٠	٠,٠٧	٠,٠٧	س
٠,٣٧٤٠	٠,٣٢٤٠	٠,١٧١٠	٠,٤٠٤٠	ع

* = LATCMMPB = وضع مسار مركز ثقل الكتلة بالنسبة لخط المنصف للجري عند أقصى انحاء للزانة، LATCMPS = وضع مسار مركز ثقل الكتلة بالنسبة لخط المنصف لجري عند مد الزانة، LATCMPR = وضع مسار مركز ثقل الكتلة بالنسبة لخط المنصف المنصف للجري عند ترك الزانة، LATCMHP = وضع مسار مركز ثقل الكتلة بالنسبة لخط المنصف لجري عند أعلى ارتفاع، س = المتوسط الحسابي، ع = الاحراف المعياري.

بالنسبة للعلاقات الارتباطية بين كل من متغيرات ازاحتات CM وعلاقتها المتداخلة بالمستوى الرقمي للفز بالزانة لأفراد عينة البحث صمم الباحثان نموذج يحتوى على ست مستويات المستوى الأول يمثل المستوى الرقمي ويرمز له بالرمز (Y) ويوضح العلاقات الارتباطية بين المستوى الرقمي وازاحتات CM خلال الفرز بالزانة شكل (١٣).

وقد مثلت قيمة الارتباط بين كل متغيرين بعدد من الخطوط كل خط يمثل وحدة من قيمة الارتباط فمثلاً قيمة الارتباط بين المستوى الرقى في المستوى الأول وطول الخطوة الأخيرة خلال الاقراب ($\times 1$) كان ($0,616$) إذن عدد الخطوط الممثلة له ست خطوط موصولة بين المتغيرين وتكتب قيمة الارتباط على الجانب الأيمن لها.

المستوى الثاني يمثل طول الخطوة الأخيرة خلال الاقراب ($\times 1$) وعلاقتها بكل من اتساع القبضة ($\times 2$)، المسافة الرأسية بين CM وقمة ارتكاز القدم عند الخطوة قبل الأخيرة للارتفاع ($\times 3$)، المسافة الرأسية بين CM وقمة ارتكاز القدم عند الخطوة الأخيرة للارتفاع ($\times 4$)، المسافة الرأسية بين CM وقمة ارتكاز القدم عند لحظة الارتفاع ($\times 5$)، المسافة الرأسية بين CM وقمة آخر لحظة الارتفاع ($\times 6$).

والمستوى الثالث يمثل ($\times 2$) وعلاقته الارتباطية بكل من المتغيرات ($\times 3, \times 4, \times 5, \times 6$) والمستوى الرابع يمثل المتغير ($\times 3$) وعلاقته الارتباطية بكل من المتغيرات ($\times 4, \times 5, \times 6$)، والمستوى الخامس يمثل المتغير ($\times 4$) وعلاقته الارتباطية بكل من المتغيرين ($\times 5, \times 6$)، والمستوى السادس والأخير يمثل المتغير ($\times 5$) وعلاقته الارتباطية بالمتغير ($\times 6$). شكل (١٢).

ويلاحظ في المستوى الأول لا يوجد ارتباط دال احصائياً بين المستوى الرقى والمسافة الرأسية بين CM وقمة ارتكاز القدم عند الخطوة قبل الأخيرة ($\times 2$) ($r = 0,123, p = 0,366$)، ووجد ارتباط دال احصائياً بين المستوى الرقى وكل من المسافة الرأسية بين CM وقمة آخر لحظة ارتفاع ($\times 6$) ($r = 0,621, p = 0,005$)، طول الخطوة الأخيرة للارتفاع ($r = 0,616, p = 0,005$)، اتساع القبضة ($\times 3$) ($r = 0,607, p = 0,005$)، المسافة الرأسية بين CM وقمة ارتكاز القدم عند لحظة الارتفاع ($r = 0,539, p = 0,005$)، المسافة الرأسية بين CM وقمة ارتكاز القدم عن اللحظة الأخيرة للارتفاع ($r = 0,516, p = 0,005$).

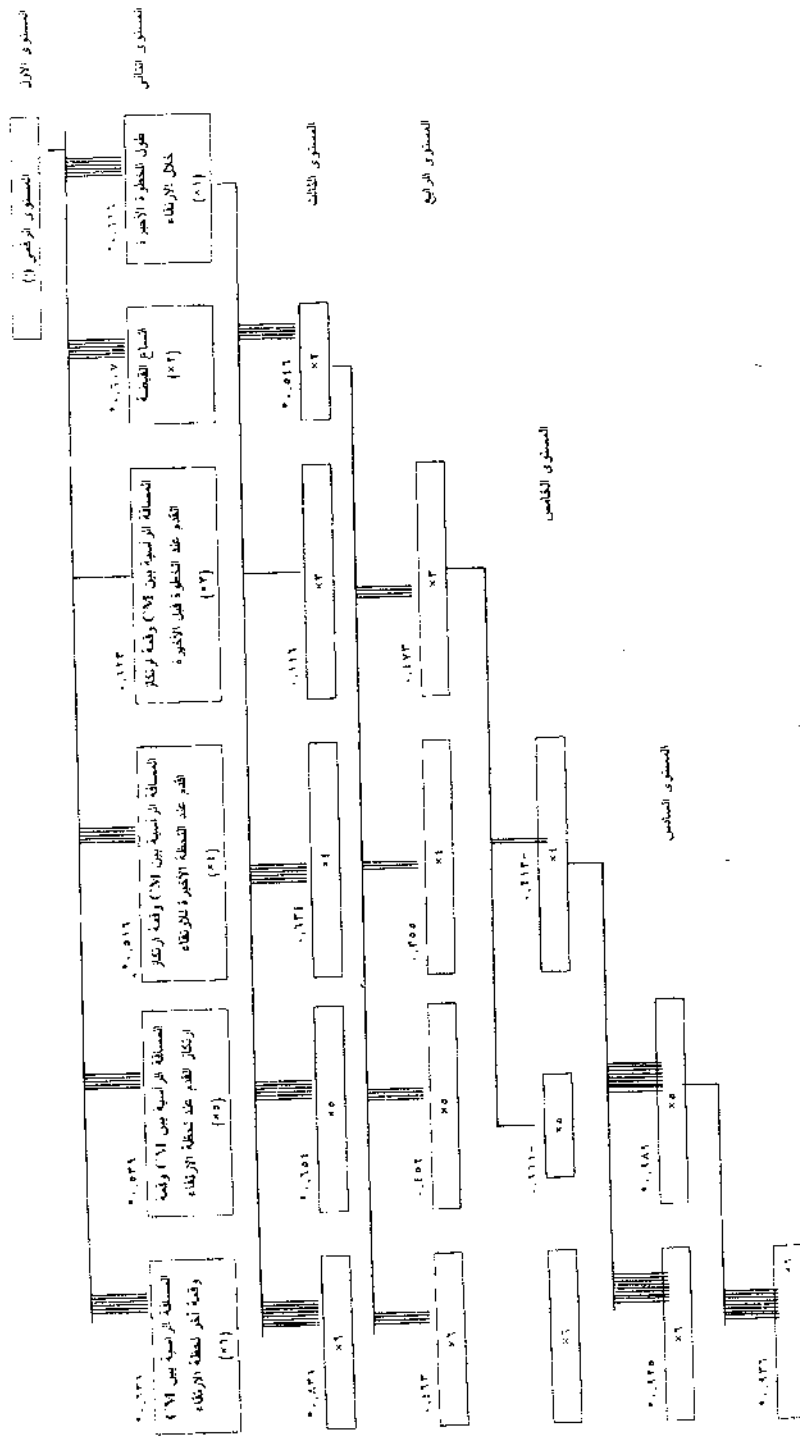
كما يلاحظ في المستوى الثاني عدم وجود ارتباط دال احصائياً بين طول الخطوة الأخيرة خلال الارتفاع والمسافة الرأسية بين CM وقمة ارتكاز القدم عند لحظة الارتفاع

(ر=١٦٦، ٠٠، ٣٩٢=p)، ووجد ارتباط دال احصائياً بين طول الخطوة الأخيرة
خلال الارتفاع (١) وكل من (٢) (ر=٥٤٦، ٠٠، ٨١=p)، (٤) (ر=٦٣٤، ٠٠، ٨١=p)
. (٠، ٠، ٥=p، ٠٠، ٨٣١=p) (٦) (ر=٠، ٠٣٩=p، ٠٠، ٤٦=p)

ويلاحظ في المستوى الثالث أيضاً عدم وجود ارتباط دال احصائياً بين (٢) وكل
من (٣) (ر=١١٨=p، ٠٠، ٤٧٣=p)، (٤) (ر=٣٥٥=p، ٠٠، ١٩٤=p)، (٥) (ر=١٢٤=p، ٠٠، ٤٦٣=p)
. (٠، ١٣١=p، ٠٠، ٤٥٢=p)

وفي المستوى الرابع لوحظ عدم وجود ارتباط دال احصائياً بين (٣) وكل من (٤)
(٥) (ر=٢١٢=p، ٠٠، ٣٠٦=p)، (٦) (ر=١٦١=p، ٠٠، ٣٥٢=p)
. (٠، ٤٣٩=p، ٠٠، ٠٦٥=p).

وفي المستوى الخامس لوحظ عدم وجود ارتباط دال احصائياً بين (٤)، وكل من (٥)
. (٠، ٠، ٩٨٩=p، ٠٠، ٩٢٥=p)، (٦) (ر=٠، ٠، ٠، ١=p).



نموج لإزاحتات مركز ثقل كثافة الجسم وعلاقتها المترادفة بالمستوى الرقسي للقفر بالرابة لغير اد عينة البحث وعدد الخطوط تدل على قيمة الارتباط بين المتغيرات في كل مستوى

وأخيراً في المستوى السادس لوحظ وجذود ارتباط دال احصائياً بين (x_5, x_6) و $(r = 0.936, p = 0.000)$ ، كما موضح في شكل (١٣).

بالنسبة للعلاقات الارتباطية بين كل من متغيرات سرعات CM وعلاقتها المداخلة بالمستوى الرقمي للفز بالزانة لأفراد عينة البحث صمم الباحث نموذج شكل (١٤) يحتوى على سبع مستويات بنفس الأسلوب المتبع فى شكل (١٣) السابق.

للحظ في المستوى الأول عدم وجود ارتباط دال احصائياً بين المستوى الرقمي (Y) وكل من متوسط السرعة الأفقية لآخر خطوة اقتراب (r=0.471, p=0.031), السرعة الأفقية CM عند لحظة الارتكاز (r=0.471, p=0.031), السرعة الأفقية لـ CM عند آخر نقطة ارتكاز (r=0.328, p=0.176), السرعة الرأسية لـ CM عند آخر خلال الطيران الحر (r=0.247, p=0.278), السرعة الرأسية لـ CM عند آخر نقطة ارتكاز (r=0.114, p=0.480), أقصى سرعة رأسية لـ CM (r=0.112, p=0.457), السرعة الرأسية لـ CM عند ترك الزانة (r=0.128, p=0.451), .

وفي المستوى الثاني لوحظ عدم وجود ارتباط دال احصائياً بين (٧٧) وكل من (ر=١٦١، ..، ٣٥٢=p)، (ر×٩)، (ر، ٣٨٢=p)، (ر، ١٧٥=p)، (ر×١١)، (ر×٨)، (ر=٢٩-، ..، ٤٦٤=p)، (ر×١٢)، (ر، ١٠٩=p)، (ر، ٥٠٠=p)، (ر=٤٩٠)، (ر، ١٠٩=p)، كما لوحظ وجود ارتباط عكسي دال احصائياً بين (٧٧)، (ر×١٠)، (ر=٥٦٦-، ..، ٠٤٢=p)، (ر، ٠٤٢=p).

وفي المستوى الثالث لوحظ عدم وجود ارتباط دال احصائياً بيم ($\times 8$) وكل من =
 $(r=0,187 = p < 0,082)$ ، $(r=0,111 = p < 0,0424)$ ، $(r=0,365 = p < 0,0365)$ ، $(r=0,339 = p < 0,0439)$ ، $(r=0,317 = p < 0,0317)$ ، $(r=0,138 = p < 0,0439)$ ، $(r=0,206 = p < 0,0206)$.

وفي المستوى الرابع تبين عدم وجود ارتباط دال احصائياً بين (x_9) وكل من $(r = 144, p = 0.367)$ ، $(r = 111, p = 0.353)$ ، $(r = 159, p = 0.120)$ ، $(r = 151, p = 0.419)$ ، $(r = 13, p = 0.398)$ ، $(r = 110, p = 0.110)$.

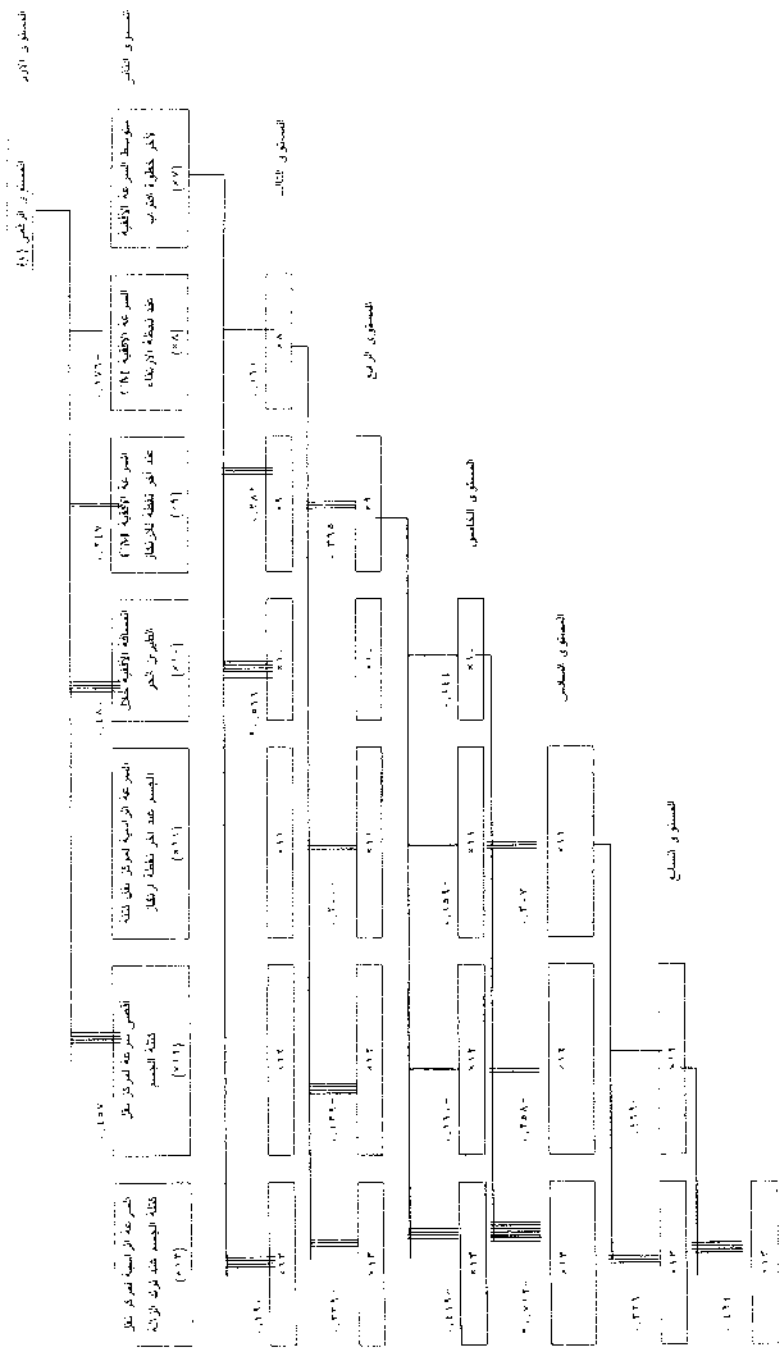
وفي المستوى الخامس لوحظ عدم وجود ارتباط دال احصائياً بين (١٠×) وكل من (١١×) (ر=٠٠,٢٣٠ = p = ٠٠,٣٠٧)، (١٢×) (ر=٠٠,٢٥٨)، (١٣×) (ر=٠٠,٢٦٩ = p = ٠٠,٢٤)، وجود ارتباط عكسي دال احصائياً بين (١٠×) و(١٣×) (ر=٠٠,٧١٢ = p = ٠٠,٠٠٤).

وفي المستوى السادس تبين عدم وجود ارتباط دال احصائياً بين (١١×) وكل من (١٢×) (ر=٠٠,٢١٦ = p = ٠٠,٣٤٥)، (١٣×) (ر=٠٠,٣٢٦ = p = ٠٠,١٦٩).

وفي المستوى السابع لوحظ عدم وجود ارتباط دال احصائياً بين (١٢×)، (١٣×) (ر=٠٠,٤٢٤ = p = ٠٠,١٤٨)، كما في شكل (١٤).

بالنسبة للعلاقات الارتباطية بين المستوى الرقمي ومتغيرات ارتفاعات CM خلال القفز بالزانة لأفراد عينة البحث صمم الباحث نموذج يحتوى على خمس مستويات المستوى الأول يمثل المستوى الرقمي ويرمز له بالرمز (٧) ويوضح العلاقات الارتباطية بين المستوى الرقمي (Y) وارتفاعات CM خلال القفز بالزانة لأفراد عينة البحث، والمستوى الثاني ويمثل قيمة ارتفاع CM النهائي (١٤×) ويوضح العلاقة بين (١٤×)، كل من ارتفاع CM عند آخر نقطة ارتكاز (١٥×)، الفرق بين ارتفاع CM عند آخر نقطة ارتكاز وترك الزانة (١٦×)، الفرق بين ارتفاع CM عند أعلى الزانة أعلى ارتفاع (١٧×)، الفرق بين ارتفاع CM عند أعلى ارتفاع وارتفاع العارضة (١٨×)، المستوى الثالث ويمثل (١٥×) ويوضح العلاقات الارتباطية بين (١٥×) وكل من المتغيرات (١٦×)، (١٧×)، (١٨×)، والمستوى الرابع ويمثل (١٦×) ويوضح العلاقات الارتباطية بين (١٦×) وكل من (١٧×)، (١٨×) والمستوى الخامس ويمثل (١٧×) ويوضح العلاقة بين (١٧×)، (١٨×) كما في شكل (١٥).

للحظ في المستوى الأول عدم وجود ارتباط دال احصائياً بين (y) وكل من (١٥×) (ر=٠٠,٣٨٤ = p = ٠٠,١٧٤)، (١٦×) (ر=٠٠,٤٨٠ = p = ٠٠,٠٢١)، وجود ارتباط دال احصائياً بين (y) وكل من (١٤×) (ر=٠٠,٦٦٦ = p = ٠٠,٠٣٦)، (١٧×) (ر=٠٠,٥٣٦ = p = ٠٠,٠٣٦)، (١٨×) (ر=٠٠,٧٣٤ = p = ٠٠,٠١٩).



شیخ

نموذج لسرعات مرئي ينقل كتلة الجسم وعلاقتها الارتباطية بالمستوى الرفقي المفترض بالراثة للأفراد عينة البحث.

وفي المستوى الثاني لوحظ عدم وجود ارتباط دال احصائياً بين (١٤) وكل من (١٥) ($r=0.32 = P_{0.032}$), ($r=0.47 = P_{0.047}$), ($r=0.317 = P_{0.0317}$) وكل ($r=0.261 = P_{0.0261}$), ($r=0.267 = P_{0.0267}$), ($r=0.485 = P_{0.0485}$)

وفي المستوى الثالث تبين عدم وجود ارتباط دال احصائياً بين (١٥) وكل من (١٧) ($r=0.321 = P_{0.0321}$), ($r=0.219 = P_{0.0219}$), ($r=0.42 = P_{0.042}$), ($r=0.12 = P_{0.012}$), كما وجد ارتباط عكسي دال احصائياً بين (١٥) و(١٦) ($r=-0.48 = P_{0.048}$).

وفي المستوى الرابع لوحظ عدم وجود ارتباط دال احصائياً بين (١٦) وكل من (١٧) ($r=0.382 = P_{0.0382}$), ($r=0.175 = P_{0.0175}$), ($r=0.372 = P_{0.0372}$), ($r=0.256 = P_{0.0256}$) شكل (١٥).

وفي المستوى الخامس تبين وجود ارتباط دال احصائياً بين (١٧)، ($r=0.18 = P_{0.018}$).

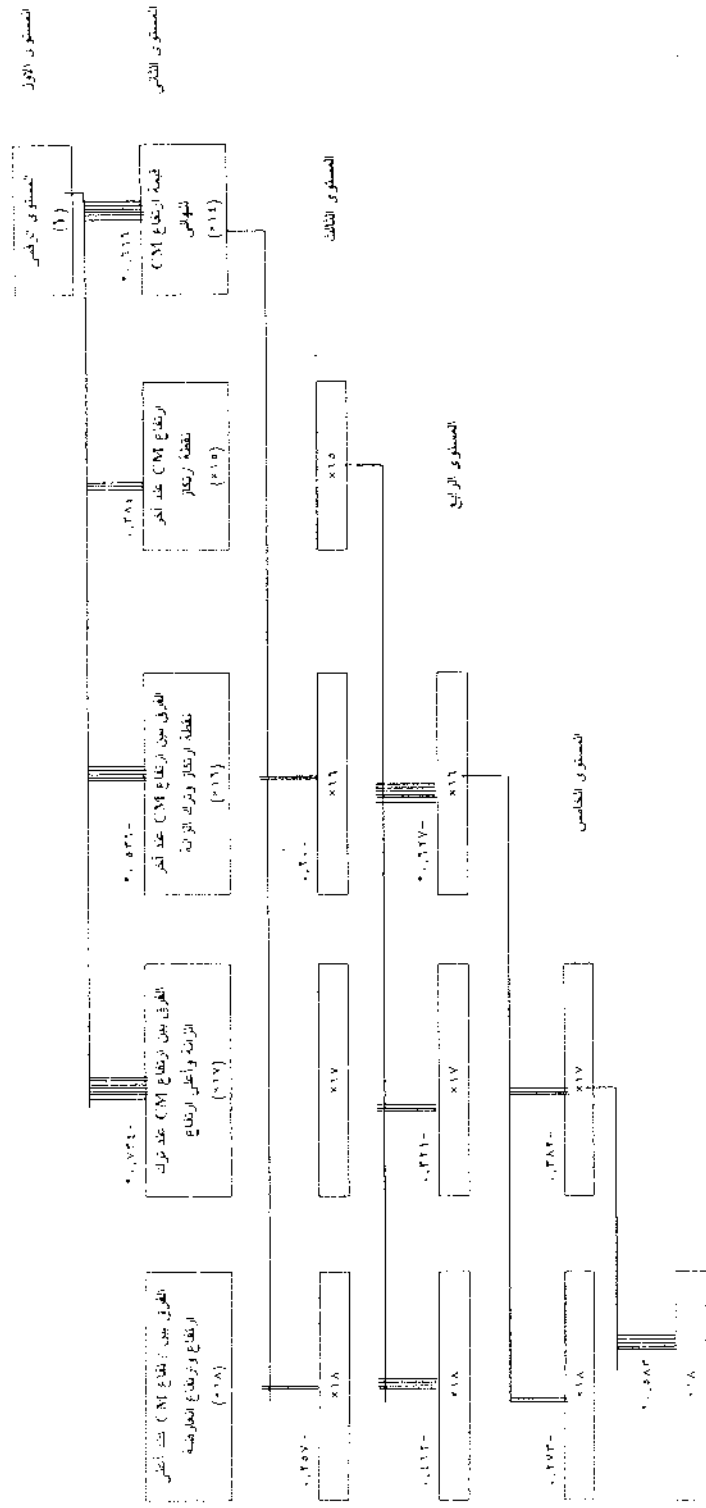
بالنسبة للعلاقات الارتباطية بين المستوى الرقمي (y) والمتغيرات الديناميكية صمم الباحث نموذج يشتمل على خمس مستويات بنفس الطريقة المتبعة في عرض الشكل (١٥) السابق.

لوحظ في المستوى الأول عدم وجود ارتباط دال احصائياً بين المستوى الرقمي (y) وكل من أقصى كمية حركة زاوية للفافر بالزانة (٢٠) ($r=0.447 = p_{0.0447}$), كمية الحركة الزاوية خلال الطيران الحر (٢١) ($r=0.175 = p_{0.0175}$), زاوية وتر الزانة مع الخط الأفقي عند ترك الزانة (٢٢) ($r=0.10 = p_{0.010}$), المسافة الأفقية بين CM والعارضة عند ترك الزانة (٢٣) ($r=0.089 = p_{0.0089}$), وجود ارتباط دال احصائياً بين (Y) ووتر الزانة عند أقصى انحناء للزانة (٢٤) ($r=0.618 = p_{0.0618}$).

وفي المستوى الثاني لوحظ عدم وجود ارتباط دال احصائياً بين (١٩) وكل من (٢٠) ($r=0.41 = p_{0.041}$), ($r=0.462 = p_{0.0462}$), ($r=0.473 = p_{0.0473}$), ($r=0.29 = p_{0.029}$), ($r=0.22 = p_{0.022}$), ($r=0.261 = p_{0.0261}$), ($r=0.264 = p_{0.0264}$), ($r=0.349 = p_{0.0349}$).

شکل (١٥) نمودج لارتباطات مرکزی نظر کننده الجسم و علاقهای ارتباطی بالمسنون الرؤس بالزانة لاقراء عینه البحث.

عدد الخطوط يدل على قيمة الارتباط بين المستويات في كل مسنون



وفي المستوى الثالث تبين عدم وجود ارتباط دال احصائياً بين (٢٠)، (٢١)، (٢٢)، (٢٣)، وجود ارتباط دال احصائياً بين (٢٠) وكل من (٢٢)، (٢٣)، (٢٤)، (٢٥)، (٢٦)، (٢٧).

وفي المستوى الرابع لوحظ عدم وجود ارتباط دال احصائياً بين (٢١)، كل من (٢٢)، (٢٣)، (٢٤)، (٢٥)، (٢٦)، (٢٧)، (٢٨)، (٢٩)، (٣٠).

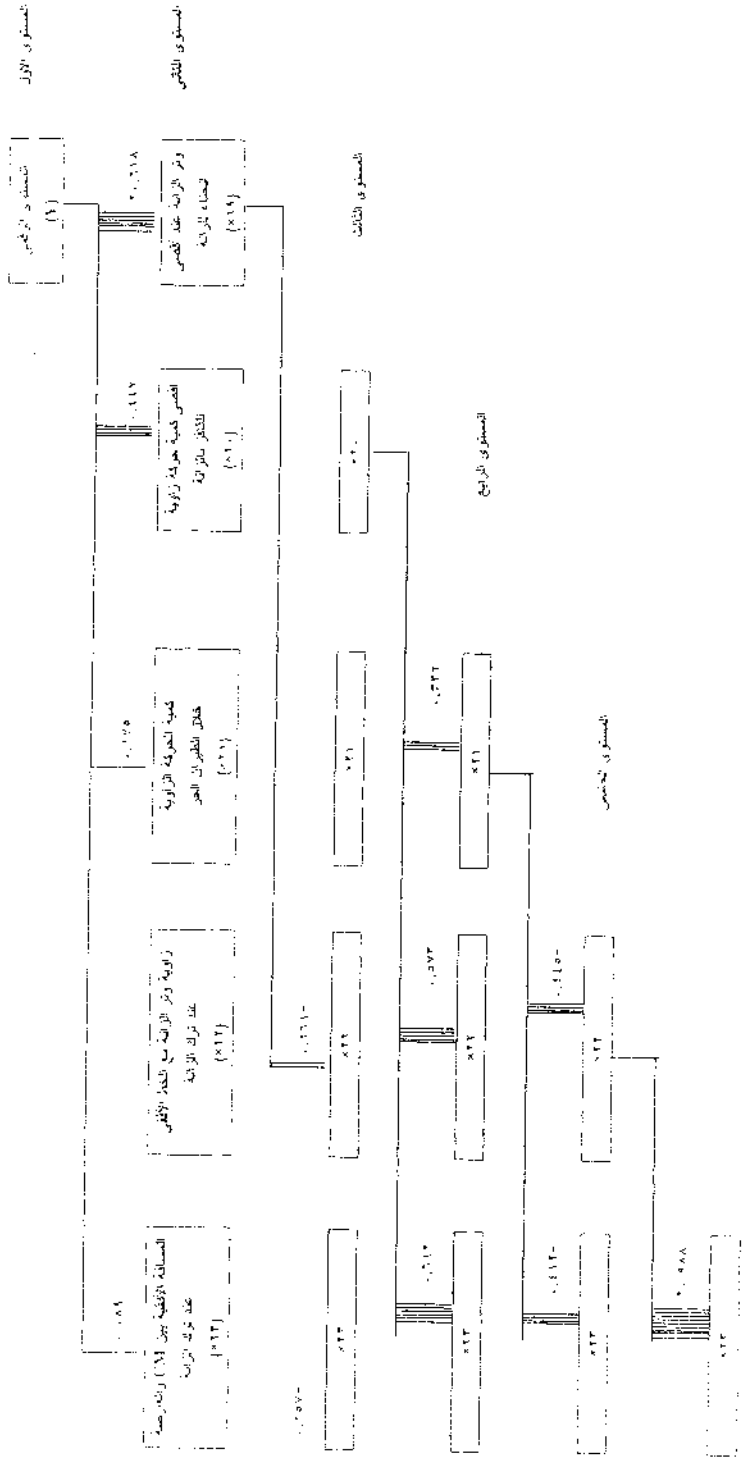
وفي المستوى الخامس لوحظ وجود ارتباط دال احصائياً بين (٢٢)، (٢٣)، (٢٤)، (٢٥)، (٢٦)، (٢٧)، (٢٨)، (٢٩)، (٣٠) شكل (٦).

بالنسبة للعلاقات الارتباطية بين المستوى الرقمي (y) وأهم المتغيرات التي أسفرت عنها العمليات الارتباطية بين كل من الازمات، السرعات، والارتفاعات، والمتغيرات الديناميكية صمم الباحث نموذج احتوى على أربعة مستويات يمثل المستوى الأول المستوى الرقمي وعلاقته بالمتغيرات (١)، (٢)، (٣)، (٤)، (٥)، والمستوى الثاني ويمثل طول الخطوة الأخيرة خلال الارتفاع (٦) وعلاقتها بكل من (٦)، (٧)، (٨)، والمستوى الثالث ويمثل السرعة الأفقية لمركز ثقل الكتلة عند آخر نقطة للارتكانز (٩) وعلاقتها بكل من (١٠)، (١١)، (١٢)، (١٣)، (١٤)، (١٥)، والمستوى الرابع ويمثل سرعة رأسية لمركز ثقل الكتلة (١٦)، وعلاقته بالمتغير (١٧). في المستوى الأول لوحظ عدم وجود ارتباط دال احصائياً بين المستوى الرقمي (y) وكل من (٦)، (٧)، (٨)، (٩)، (١٠)، (١١)، (١٢)، (١٣)، (١٤)، (١٥)، وجود ارتباط عكسي دال احصائياً بين (١)، (٢)، (٣)، (٤)، (٥)، (٦)، (٧)، (٨)، (٩)، (١٠)، (١١)، (١٢)، (١٣)، (١٤)، (١٥)، (١٦)، (١٧)، (١٨)، (١٩)، (٢٠)، (٢١)، (٢٢)، (٢٣)، (٢٤)، (٢٥)، (٢٦)، (٢٧).

وفي المستوى الثاني تبين عدم وجود ارتباط دال احصائياً بين (١)، وكل من (٢)، (٣)، (٤)، (٥)، (٦)، (٧)، (٨)، (٩)، (١٠)، (١١)، (١٢)، (١٣)، (١٤)، (١٥)، وجود ارتباط عكسي دال احصائياً بين (١)، (٢)، (٣)، (٤)، (٥)، (٦)، (٧)، (٨)، (٩)، (١٠)، (١١)، (١٢)، (١٣)، (١٤)، (١٥)، (١٦)، (١٧)، (١٨)، (١٩)، (٢٠)، (٢١)، (٢٢)، (٢٣)، (٢٤)، (٢٥)، (٢٦)، (٢٧).

وفي المستوى الثالث لوحظ عدم وجود ارتباط دال احصائياً بين (٩)، وكل من (١٠)، (١١)، (١٢)، (١٣)، (١٤)، (١٥)، (١٦)، (١٧)، (١٨)، (١٩)، (٢٠)، (٢١)، (٢٢)، (٢٣)، (٢٤)، (٢٥).

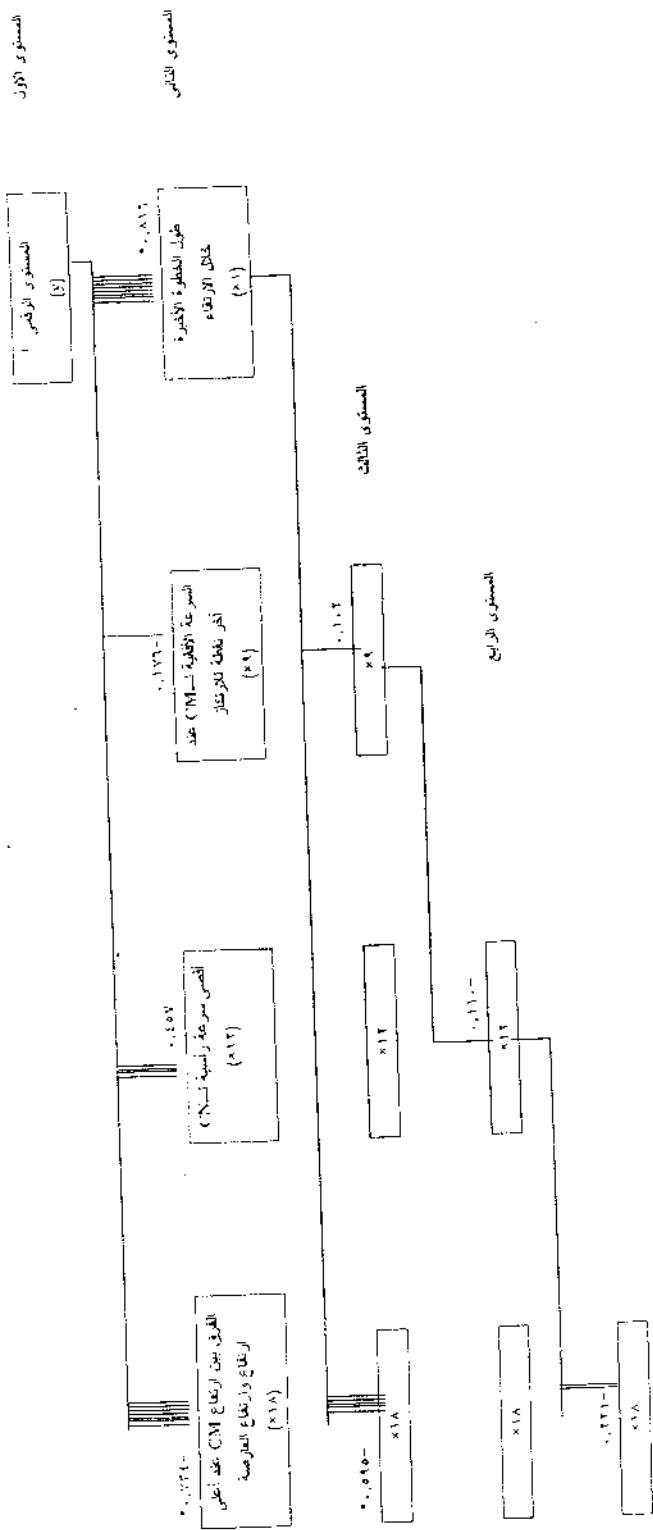
وفي المستوى الرابع والأخير لوحظ عدم وجود ارتباط دال احصائياً بين (١)، (٢)، (٣)، (٤)، (٥)، (٦)، (٧)، (٨)، (٩)، (١٠)، (١١)، (١٢)، (١٣)، (١٤)، (١٥)، (١٦)، (١٧)، (١٨)، (١٩)، (٢٠)، (٢١)، (٢٢)، (٢٣)، (٢٤)، (٢٥)، (٢٦)، (٢٧)، (٢٨)، (٢٩)، (٣٠) شكل (٧).



شكل (١٦) نموذج للمتغيرات الديناميكية المترتبة على مركز تحالف كتلة الحسين وعلاقتها الأزمانية بالتصنيواني الشخصي بحسبه للقراءة عنينة البحث.
نموذج للمتغيرات الديناميكية المترتبة على مركز تحالف كتلة الحسين وعلاقتها الأزمانية بالتصنيواني الشخصي بحسبه للقراءة عنينة البحث.

نحوذ لأهم التغيرات الديموغرافية وعلاقتها بالمسنوي الرئيسي خلال أداء المفقر بالبلدة

شكل (١٧)



ولتحديد نسبة مساهمة كل من متغيرات ازاحات CM، سرعات CM، ارتفاعات CM، والمتغيرات الديناميكية لـ CM في المستوى الرقمي للفقر بالزانة، أجرى الباحثان التحليل المنطقي للانحدار Stepwise regression لكل مجموعة متغيرات على حدة والناتج في كل منها اعتبر مجموعة مستقلة أجري عليها التحليل المنطقي للانحدار وتعرض الجداول من (٨) إلى (١٤) نتائج عمليات التحليل المنطقي للانحدار.

جدول (٨)

نسبة مساهمة طول الخطوة الأخيرة خلال الارتفاع لمركز ثقل كتلة الجسم خلال المسار الحركي لأداء الفقر في المستوى الرقمي لأفراد عينة البحث

(ن = ٨)

نسبة المساهمة (%)	قيمة (ف)	قيمة (ت)	درجات الحرية	خطأ التعويذ	معامل الانحدار الجزئي (ب)	المقدار الثبت (ج)	المعاملات الاحصائية	
							المتغيرات	طول الخطوة الأخيرة خلال الارتفاع
٦٦,٦٥٣	١١,٣	٢,٤٦	٦	٠,١٦٤٣٠	٠,٥٦٩٠٠	٤,٦٧٧		
٩٣	٣							(٨)

يوضح الجدول (٨) أن متغير طول الخطوة الأخيرة خلال الارتفاع لمركز ثقل الكتلة خلال المسار الحركي لأداء الفقر بالزانة هو أكثر متغيرات الازاحات تأثيراً في المستوى الرقمي حيث ساهم منفرداً بنسبة ٦٦,٦٥٣%. وكانت قيمة (ت) المحسوبة أكبر من قيمة (ت) الجدولية عند مستوى دلالة احصائية ٠,٠٠٥، وكانت قيمة F المحسوبة أكبر من قيمة (ف) الجدولية عند مستوى دلالة احصائية ٠,٠٠٥، ويعنى ذلك أن قيمة (ت) المحسوبة، وقيمة (ف) المحسوبة دالة احصانياً عند مستوى دلالة احصائية ٠,٠٠٥، وتصبح معادلة الانحدار التنبؤية للمستوى الرقمي بدلالة طول الخطوة الأخيرة للارتفاع كما يلى :

المستوى الرقمي = ٤,٦٦٧ + ٠,٥٦٩٠٠ × طول الخطوة الأخيرة خلال الارتفاع

جدول (٩)

نسبة مساهمة كل من طول الخطوة الأخيرة خلال الارتفاع، أقصى سرعة رأسية لمركز ثقل كتلة الجسم خلال المسار الحركي لأداء القفز بالزانة في المستوى الرقمي للقفز بالزانة لأفراد عينة البحث

(ن = ٨)

نسبة المساهمة (%)	قيمة (ف)	قيمة (ت)	درجات الحرية	خطأ المعياري \pm بع	معامل الانحدار الجزئي (ب)	المقدار الثابت (ا)	المعاملات الاحصائية	
							المتغيرات	طول الخطوة الأخيرة خلال الارتفاع (١) أقصى سرعة رأسية لمركز ثقل كتلة الجسم (٢)
٦٦,٦٥٣.	٣٩,١٢	٧,٨٠٢		٠,٠٧٦	٠,٥٩٧٩٠	٣,٨٧٦		
٢٧,٣٤١.	١٨٠	٤,٧٧١	٥	٠,٠٣٨	٠,١٨١٣٥٠	٤٠		
٩٣,٩٩٤						

يوضح الجدول (٩) أن متغير أقصى سرعة رأسية لمركز ثقل الكتلة هو أكثر المتغيرات تأثيراً في المستوى الرقمي بعد طول الخطوة الأخيرة خلال الارتفاع حيث كانت نسبة مساهمته منفرداً ٢٧,٣٤١% وكانت نسبة مساهمتها معاً ٩٣,٩٩٤%. وكانت قيمة (ت) المحسوبة أكبر من قيمة (ف) الجدولية عند مستوى دلالة احصائية ٠,٠٥، وكانت قيمة (ف) المحسوبة أكبر من قيمة (ف) الجدولية عند مستوى دلالة احصائية ٠,٠٥، ويعنى ذلك أن قيمة (ت) المحسوبة، وفيما (ف) المحسوبة دالة احصائية عند مستوى دلالة احصائية ٠,٠٥، وتصبح معادلة الانحدار التنبؤية للمستوى الرقمي بدلاً من طول الخطوة الأخيرة للارتفاع، أقصى سرعة رأسية لمركز ثقل الكتلة كما يلى :

$$\text{المستوى الرقمي} = ٣,٨٧٦٤ + ٠,٥٩٧٩ \times \text{طول الخطوة الأخيرة} + ٠,١٨١٣٥ \times \text{أقصى سرعة رأسية لمركز ثقل الكتلة}$$

جدول (١٠)

نسبة مساهمة كل من طول الخطوة الأخيرة خلال الارتفاع، أقصى سرعة رأسية لمركز ثقل كتلة الجسم، السرعة الأفقية لمركز ثقل كتلة الجسم عند آخر نقطة للارتفاع خلال المسار الحركي لأداء الفرز بالزانة في المستوى الرقمي للفرز بالزانة لأفراد عينة البحث

(ن = ٨)

نسبة المساهمة (%)	قيمة (ج)	قيمة (ب)	درجات الحرارة	الخطأ المعياري \pm ب	معامل الانحدار الجزئي (ب)	المقدار الثابت (ج)	المعاملات الإحصائية	
							المتغيرات	
١٦,٦٥٢	١٣,٣٤٥	١٣,٣٤٥		٠,٠٤٥٨٠	٠,١١١٦٠		طول الخطوة الأخيرة خلال الارتفاع (١٠)	
٤٧,٣٩١	٧٦,٩٤٣	٧٦,٩٤٣	٤	٠,٠٢٢٨٠	٠,١٧٣٩٠	٤,٢٤٦٩٩	أقصى سرعة رأسية لمركز ثقل كتلة الجسم (١٢)	
٤,٣٠٣		٣,٦٧٩		٠,٠٤٣٧	٠,٠٧٢٦٣		السرعة الأفقية لمركز ثقل كتلة الجسم عند آخر نقطة للارتفاع (٤)	
٩٨,٩٩٧							الجسم عند آخر نقطة للارتفاع (٤)	

يسين الجدول (١٠) أن السرعة الأفقية لمركز ثقل الكتلة عند آخر نقطة للارتفاع هي المساهم الأكثـر تأثيراً في المستوى الرقمي بعد طول الخطوة الأخيرة، أقصى سرعة رأسية لمركز ثقل الكتلة عند آخر نقطة للارتفاع. وأن معادلة الانحدار التنبؤية للمستوى الرقمي بدلالة كل من طول الخطوة الأخيرة للارتفاع، أقصى سرعة رأسية لمركز ثقل الكتلة،

السرعة الأفقية لمركز ثقل الكتلة عند آخر نقطة للارتفاع كما يلى :

$$\text{المستوى الرقمي} = ٤,٢٤٦٩٩ + ٤,٦١٦٠ \times \text{طول الخطوة الأخيرة خلال الارتفاع} + ٠,١٧٣٩ \times \text{أقصى سرعة لمركز ثقل الكتلة} - ٠,٠٧٢٦٣.$$

السرعة الأفقية لمركز ثقل الكتلة عند آخر نقطة للارتفاع \times

جدول (١١)

نسبة مساهمة الفرق بين ارتفاع مركز ثقل كتلة الجسم عند أعلى ارتفاع وارتفاع العارضة
خلال القفز بالزانة في المستوى الرقمي للقفز بالزانة لأفراد عينة البحث

(ن = ٨)

المتغيرات	المعاملات الاحصائية	المقدار الثابت (أ)	معامل الانحدار الجنسي (ب)	الخطأ المعياري \pm ع ب	درجات الحرية (ت)	قيمة (ف)	نسبة المساعدة (%)
الفرق بين ارتفاع مركز ثقل كتلة الجسم عند أعلى ارتفاع وارتفاع العارضة (١٨)		٦٥٢٠٥٦٠	٠٠٤٩٠٠	٠٠١٧٧٠	٦	٠٠٣٤٩٠٠	٣٢.٩٠١

يوضح الجدول (١١) أن الفرق بين ارتفاع CM عند أعلى ارتفاع وارتفاع العارضة هو أكثر متغيرات الارتفاع تأثيراً على المستوى الرقمي حيث بلغت نسبة مساهمته منفرداً ٥٣.٩٠١%. وكانت قيمة (ت) المحسوبة أكبر من قيمة (ت) الجدولية عند مستوى دلالة احصائية ٠٠٠٥، وكانت قيمة (ف) المحسوبة أكبر من قيمة (ف) الجدولية عند مستوى دلالة احصائية ٠٠٠٥، ويعنى ذلك أن قيمة (ت) المحسوبة، وقيمة (ف) المحسوبة دالة احصائياً عند مستوى دلالة احصائية ٠٠٠٥، وتكون المعادلة التنبؤية للمستوى الرقمي بدلالة الفرق بين ارتفاع CM عند أعلى ارتفاع وارتفاع العارضة كما يلى :

المستوى الرقمي = $٦٥٢٠٥٦٠ - ٠٠٤٩٠٠ \times$ الفرق بين ارتفاع CM عند أعلى ارتفاع وارتفاع العارضة

جدول (١٢)

نسبة مساهمة طول الخطوة الأخيرة لمركز ثقل كتلة الجسم خلال الارتفاع خلال أداء القفز بالزانة في المستوى الرقمي للقفز بالزانة لأفراد عينة البحث

(ن = ٨)

المتغيرات	المعاملات الاحصائية	المقدار الثابت (أ)	معامل الانحدار الجنسي (ب)	الخطأ المعياري \pm ع ب	درجات الحرية (ت)	قيمة (ف)	نسبة المساعدة (%)
طول الخطوة الأخيرة لمركز ثقل كتلة الجسم (١)		٤.٦٤٧٧٠	٠٠٥٩٠٠	٠.٠٦٤٣٠	٦	٠.٣٨٢٠	٣٦.٣٥٢٠

يلاحظ في الجدول (١٢) أن طول الخطوة الأخيرة لمركز نقل الكتلة خلال الارتفاع اكثـر المتغيرات الديناميكية تأثيراً على المستوى الرقمي حيث بلغت نسبة مساهمته منفرداً ٦٥٢٪. وكانت قيمة (ت) المحسوبة أكبر من قيمة (ت) الجدولية عند مستوى دلالة احصائية ٠٠٥، وكانت قيمة (ف) المحسوبة أكبر من قيمة (ف) الجدولية عند مستوى دلالة احصائية ٠٠٥، ويعنى ذلك أن كلاهم دال احصائياً. وتكون المعادلة التنبؤية للمستوى الرقمي بدلالة طول الخطوة الأخيرة لنقل الكتلة خلال الارتفاع كما يلى :

$$\text{المستوى الرقمي} = ٤,٦٤٧٧ + ٠,٥٦٩ \times \text{طول الخطوة الأخيرة لمركز نقل الكتلة خلال الارتفاع}$$

جدول (١٣)

نسبة مساهمة كل من طول الخطوة الأخيرة خلال الارتفاع، أقصى سرعة رأسية لمركز نقل كتلة الجسم خلال المسار الحركي لأداء القفز بالزانة في المستوى الرقمي
للقفز بالزانة لأفراد عينة البحث

نسبة المساهمة (%)	قيمة (ف)	قيمة (ت)	درجات الحرارة المعياري	خطوة المعياري	معامل الانحدار الجزئي (ب)	المقدار الثابت (ا)	المعاملات الاحصائية		المتغيرات
							١١,٢٤٢	٢٧,٣٤٢	
١١,٢٤٢	٠,٨٥٧٦٠	٠,٨٥٧٦٠	٦	٠,٠٧٦٩٠	٠,٥٩٧٩٠	٢,٦٧	طول الخطوة الأخيرة لمركز نقل		كتلة الجسم (١١) ×
٢٧,٣٤٢	٠,٣٩١٧٠	٠,٥٤٤٥٠	٦	٠,٠٧٨٠٠	٠,١٨١٣٥٠	٢١٠	أقصى سرعة رأسية لمركز نقل		
٤٣,٩٩٤							كتلة الجسم (١٢) ×		

يوضح الجدول (١٣) أن متغير أقصى سرعة رأسية لمركز نقل الكتلة هو المتغير الثاني من التغيرات الديناميكية تأثيراً في المستوى الرقمي حيث بلغت نسبة مساهمته منفرداً ٣٤,٣٪ ومسعـ المتغير الأول ٩٣,٩٪. وكانت قيمة (ت) المحسوبة أكبر من قيمة (ت) الجدولية عند مستوى دلالة احصائية ٠٠٥، وكانت قيمة (ف) المحسوبة أكبر من قيمة (ف) الجدولية عند مستوى دلالة احصائية ٠٠٥، ويعنى ذلك أن كلاهما دال احصائياً. وتكون المعادلة الانحدار التنبؤية للمستوى الرقمي بدلالة كل من طول الخطوة الأخيرة لمركز نقل الكتلة للارتفاع، أقصى سرعة رأسية لمركز نقل الكتلة كما يلى :

$$\text{المستوى الرقى} = ٣,٦٧٦٤ + ٣,٦٧٦٤ \times \text{طول الخطوة الأخيرة لمركز ثقل الكتلة خلال الارتفاع} + ٠,١٨١٣٥ \times \text{أقصى سرعة رأسية لمركز ثقل الكتلة}$$

جدول (١٤)

نسبة مساهمة طول الخطوة الأخيرة لمركز ثقل كتلة الجسم خلال الارتفاع، أقصى سرعة رأسية لمركز ثقل كتلة الجسم خلال المسار الحركي، السرعة الأفقية لمركز ثقل كتلة الجسم عند آخر نقطة لارتكاز خلال أداء القفز بالزانة في المستوى الرقى

للقفز بالزانة لأفراد عينة البحث

(ن = ٨)

نسبة المساهمة (%)	قيمة (ف)	قيمة (ت)	درجات الحرارة	الخطوة المعياري + ع ب	معامل الانحدار الجزئي (ب)	المقدار الثابت (ا)	المعاملات الاحصائية	
							المتغيرات	طول الخطوة الأخيرة لمركز ثقل كتلة الجسم (١٢) ×
٢٦,٦٥٤	١٣,٤٤٥			-٠,١٩٨٠	-٠,٦١١٥٢			أقصى سرعة رأسية لمركز ثقل كتلة الجسم (١٢) ×
٤٧,٣٤٢		٧,٣٤٢		-٠,٢٢٨٠	-٠,٦١٧٣٩	٤,٢٦٦٨٨٠		السرعة الأفقية لمركز ثقل كتلة الجسم عند آخر نقطة لارتكاز
٤,٣٠٧	٧٣,٩٤٣	٢,١٧٩٥		-٠,٢٢٩٠	-٠,٧٢٥٣			السرعة الأفقية لمركز ثقل كتلة الجسم عند آخر نقطة لارتكاز (١٢) ×
٥٨,٤٩٧								

يوضح الجدول (١٤) أن متغير السرعة الأفقية لمركز ثقل الكتلة عند آخر نقطة لارتكاز هو المتغير الثالث الأكثر تأثيراً في المستوى الرقى للقفز بالزانة حيث بلغت نسبة مساهمتها منفرداً ٤٤,٣٠% ومع كل من المتغيرين الأول والثاني ٩٨,٢٩٧%. وكانت قيمة (ت) المحسوبة أكبر من قيمة (ف) الجدولية عند مستوى دلالة احصائية ٠,٠٥، وكانت قيمة (ف) المحسوبة أكبر من قيمة (ف) الجدولية عند مستوى دلالة احصائية ٠,٠٥، ويعنى ذلك أن كلاهما دال احصائياً. وتكون المعادلة الانحدار التنبؤية للمستوى الرقى

بدلالة كل من ١٢، ١١، ٩، كما يلى :

$$\text{المستوى الرقى} = ٤,٢٤٦٩٨٨ + ٤,٦١١٥٦ \times \text{طول الخطوة الأخيرة لمركز ثقل الكتلة خلال الارتفاع} + ٠,١٧٣٩ \times \text{أقصى سرعة رأسية لمركز ثقل الكتلة} + ٠,٠٧٢٥٣ \times \text{السرعة الأفقية لمركز ثقل الكتلة}$$

٤٥ مناقشة النتائج : Results discussion :

١٤) مقارنة بين أفضل القافزين ولأدنى القافزين باستعراض الجداول من (٢) إلى (١٤) يتضح ما يلى :

- ١ تميز اللاعب الذى حقق أفضلاً مسٹوی رقمی فی القفز بالزانة عن اللاعب الذى حقق أقل مسٹوی رقمی فی القفز بالزانة بکیر طول الخطوة الأخيرة، والاتساع الأکبر للقبضۃ، وكبیر المسافة الرأسية بين CM وقمة ارتكاز القدم عن الخطوة قبل الأخيرة، وكبیر المسافة الرأسية بين CM وقمة ارتكاز القدم عند الخطوة الأخيرة للارتفاع، وكبیر المسافة الرأسية بين CM وقمة القدم عند لحظة الارتفاع، كبیر المسافة الرأسية بين CM وقمة آخر نقطۃ ارتكاز.

-٢ تميز أفضلاً القافزین عن أدنی القافزین فی الاحتفاظ بالسرعة الذى اكتسبها حتى آخر نقطۃ ارتكاز، وكبیر أقصی سرعة رأسية لمركز ثقل كتلة الجسم.

-٣ تميز أفضلاً القافزین عن أدنی القافزین بکیر كل من قيمة ارتفاع CM، ارتفاع CM عند آخر نقطۃ ارتكاز، الفرق بين ارتفاع CM وأخر نقطۃ ارتكاز عند ترك الزانة، الفرق بين ارتفاع CM عند ترك الزانة وأعلى ارتفاع، الفرق بين ارتفاع CM عند قمة ارتفاع CM، ارتفاع العارضة.

-٤ تميز أفضلاً القافزین بقلة الالسراوف عن الخط المنصف للجري عند لحظات كل من الارتفاع، غرس الزانة.

٢/٥ العلاقات الارتباطية بين كل من متغيرات ازاحات CM وعلاقتها المتداخلة بالمستوى الرقمي للقفر بالزانة لأفراد عينة البحث :

باستعراض الشكل (١٣) لوحظ عدم وجود ارتباط دال احصائياً في المستوى الأول بين المستوى الرقمي والمسافة الرأسية بين CM وقمة ارتكاز القدم عند الخطوة قبل الأخيرة بينما وجود ارتباط طردی دال احصائياً بين المستوى الرقمي وكل من المسافة الرأسية وبين CM وقمة أخر لحظة ارتفاع، وطول الخطوة الأخيرة للارتفاع، واتساع القبضة، والمسافة الرأسية بين CM وقمة ارتكاز القدم عند لحظة الارتفاع، والمسافة الرأسية وبين CM وقمة ارتكاز القدم عند اللحظة الأخيرة للارتفاع، ويعنى ذلك أنه كلما زادت كل من متغيرات x_1 , x_2 , x_4 , x_5 , x_6 كلما زاد المستوى الرقمي (Y).

وفي المستوى الثاني لوحظ عدم وجود ارتباط دال احصائياً بين طول الخطوة الأخيرة خلال الارتفاع (١)، والمسافة الرأسية بين CM وقمة ارتكاز القدم عند لحظة الارتفاع (٣)، ووجود ارتباط طردی دال احصائياً بين (١) وكل من (٢)، (٤)، (٥)، (٦) (٧) ويعنى ذلك أنه كلما زادت قيمة كل من المتغيرات (٢)، (٤)، (٥)، (٦) كلما زادت قيمة (١).

كما لوحظ في المستوى الثالث أيضاً عدم وجود ارتباط دال احصائياً بين (٢) وكل من (٣)، (٤)، (٥)، (٦). أما المستوى الرابع لوحظ عدم وجود ارتباط دال احصائياً بين (٣)، (٤)، (٥)، (٦).

وفي المستوى الخامس لوحظ وجود ارتباط طردی دال احصائياً بين (٤) وكل من (٥)، (٦) ويشير ذلك إلى أنه كلما تزيد قيمة كل من (٥)، (٦) تزيد قيمة (٤).

وفي المستوى السادس لوحظ وجود ارتباط طردی دال احصائياً بين (٥)، (٦) (٧) ويعنى ذلك أنه كلما زادت قيمة (٥) زادت قيمة (٦).

وباستعراض الشكل (٤) لوحظ في المستوى الأول عدم وجود ارتباط دال احصائياً بين المستوى الرقمي (٧) وكل من متوسط السرعة الأفقية لآخر خطوة اقتراب (٧)، والسرعة الأفقية لـ CM عند لحظة الارتفاع (٨)، السرعة الأفقية لـ CM عند آخر نقطة ارتكاز (٩)، السرعة الأفقية خلال الطيران الحر (١٠)، السرعة الرأسية لـ CM عند آخر نقطة ارتكاز (١١)، أقصى سرعة رأسية لـ CM (١٢)، السرعة الرأسية لـ CM عند ترك الزانة (١٣).

وفي المستوى الثاني لوحظ عدم وجود ارتباط دال احصائياً بين (٧) وكل من (٨)، (٩)، (١١)، (١٢)، (١٣)، بينما لوحظ وجود ارتباط عكسي دال احصائياً بين (٧)، (١٠)، ويعنى ذلك أنه كلما زاد قيمة (٧) قلت قيمة (١٠).

وفي كل من المستوىين الثالث والرابع لم يوجد ارتباط دال احصائي.

وفي المستوى الخامس لوحظ عدم وجود ارتباط دال احصائياً بين $(\times 10)$ وكل من $(\times 11)$ ، $(\times 12)$ ، وجود ارتباط عكسي دال احصائياً بين $(\times 10)$ ، $(\times 13)$ ويعنى ذلك أنه كلما زادت قيمة $(\times 10)$ فلت قيمة $(\times 13)$.

وفي المستوى السادس تبين عدم وجود ارتباط دال احصائياً بين $(\times 12)$ ، $(\times 13)$.

وبدراسة الشكل (15) لوحظ في المستوى الأول عدم وجود ارتباط ذات دلالة احصائية بين (Y) وكل من $(\times 15)$ ، $(\times 16)$ وجود ارتباط دال احصائياً بين (Y) وكل من $(\times 14)$ ، $(\times 17)$ ، $(\times 19)$ ، ويشير ذلك إلى أنه كلما زادت قيمة كل من $(\times 14)$ ، $(\times 16)$ ، $(\times 17)$ ، $(\times 18)$ زادت قيمة (Y) .

وفي المستوى الثاني لوحظ عدم وجود ارتباط دال احصائياً بين $(\times 14)$ وكل من $(\times 15)$ ، $(\times 16)$ ، $(\times 17)$ ، $(\times 18)$.

وفي المستوى الثالث لوحظ أيضاً عدم وجود ارتباط دال احصائياً بين $(\times 15)$ وكل من $(\times 17)$ ، $(\times 18)$ ، كما وجد ارتباط عكسي دال احصائياً بين $(\times 15)$ و $(\times 16)$ ، ويعنى ذلك أنه كلما زادت قيمة $(\times 15)$ زادت قيمة $(\times 16)$.

وفي المستوى الرابع يبين عدم وجود ارتباط دال احصائياً بين $(\times 16)$ ، وكل من $(\times 17)$ ، $(\times 18)$.

وفي المستوى الخامس لوحظ وجود ارتباط طردی دال احصائياً بين $(\times 17)$ ، $(\times 18)$ ويشير ذلك إلى أنه كلما زادت قيمة $(\times 17)$ زادت قيمة $(\times 18)$.

باستعراض الشكل (16) لوحظ في المستوى الأول بين (Y) وكل من $(\times 20)$ ، $(\times 21)$ ، $(\times 22)$ ، $(\times 23)$ وجود ارتباط طردی بين (y) و $(\times 19)$ ، ويعنى ذلك أنه كلما زادت قيمة (y) .

وفي المستوى الثاني لوحظ عدم وجود ارتباط دال احصائياً بين (١٩) وكل من (٢٠)، (٢١)، (٢٢)، (٢٣).

وفي المستوى الثالث تبين عدم وجود ارتباط دال احصائياً بين (٢٠)، (٢١)، وجود ارتباط طردى دال احصائياً بين (٢٠) وكل من (٢٢)، (٢٣) ويعنى ذلك أنه كلما زادت قيمة كل من (٢٢)، (٢٣) زادت قيمة (٢٠).

وفي المستوى الرابع لوحظ عدم وجود ارتباط دال احصائياً بين (٢١) وكل من (٢٢)، (٢٣).

وفي المستوى الخامس لوحظ وجود ارتباط طردى دال احصائياً بين (٢٢) ويعنى ذلك أنه كلما زادت قيمة (٢٢) زادت قيمة (٢٣).

وبدراسة الجداول من (٨) إلى (١٤) يتضح أن أهم متغيرات ازاحات CM تأثيراً في المستوى الرقمي مساهمة كان طول الخطوة الأخيرة خلال الارتفاع (١)، وتنقق هذه النتيجة مع ما أشار إليه جيمس هاي (١٩٧٨م) من أهمية وضع قدم الارتفاع مباشرة تحت قيمة اليد عند غرس الزانة، وإذا وضع قدم الارتفاع خلف الخط المتعمد المار باليد العليا، فإن القافز قد يأخذ وقت أكثر في التلرجح أكثر مما يمكن من السيطرة عليه بعد ذلك في القفزة بالإضافة إلى ذلك فإن مسافة الارتفاع قد تقلل القوى الرئيسية التي قد يبذلها اللاعب عند الارتفاع مما يؤدي إلى صعوبة وضع الزانة في الوضع الرأسى.

كما أن وضع القدم بعيدة للأمام عن الخط العمودي المار باليد العليا فإن القافز سيعانى من تقلص في الارتفاع عندما يقوم بالقفز للأمام ضد القوة الخارجية بواسطة اليد اليمنى.

وتصبح معادلة الانحدار التنبؤية للمستوى الرقمي بدلالة طول الخطوة الأخيرة للارتفاع كما يلى :

$$\text{المستوى الرقمي} = 4,667 + 0,569 \times \text{طول الخطوة الأخيرة خلال الارتفاع}$$

كما لوحظ أن أقصى سرعة رأسية لمركز ثقل كتلة الجسم على المتغير الثاني الأكثر تأثيراً في المستوى الرقمي بعد طول الخطوة الأخيرة خلال الارتفاع حيث كانت نسبة مساهمته منفرداً ٢٧,٣٤٪ وكانت نسبة مساهمتها معًا ٩٣,٩٤٪ وكانت معادلة الانحدار التنبؤية للمستوى الرقمي بدلالة كل من طول الخطوة الأخيرة للارتفاع، أقصى سرعة رأسية لمركز ثقل كتلة الجسم كما يلى :

$$\text{المستوى الرقمي} = ٣,٨٧٦٤ + ٥٩٧٩ \times ٠,٥٩٧٩ + ٠,١٨١٣٥ \times (\text{أقصى سرعة لمركز ثقل كتلة الجسم})$$

أما بالنسبة لمساهمة الفروق بين ارتفاع مركز ثقل كتلة الجسم عند أعلى ارتفاع لارتفاع العارضة خلال القفز بالزانة في المستوى الرقمي للقفز بالزانة لأفراد عينة البحث اتضحت من الجدول (١١) أن الفرق بين ارتفاع مركز ثقل كتلة الجسم عند أعلى ارتفاع وارتفاع العارضة (١٨٪) هو أكثر متغيرات الارتفاع تأثيراً في المستوى الرقمي، وكانت المعادلة التنبؤية للمستوى الرقمي بدلالة الفرق بين ارتفاع CM عند أقصى ارتفاع وارتفاع العارضة كما يلى :

$$\text{المستوى الرقمي} = ٦,٥٢٠٥٦٠ - ٤,٤٦٩٠ \times ٠,٤٦٩٠ \times ١٨٪$$

وباستعراض الجدول (١٤) أتضحت أن متغير السرعة الأفقية لمركز ثقل كتلة الجسم عند آخر نقطه ارتكاز (٩٪) هو المتغير الثالث الأكثر تأثيراً في المستوى الرقمي للقفز بالزانة بعد كل من (١٪)، (١٢٪) حيث بلغت نسبة مساهمته منفرداً ٤٤,٣٠٪ ومع كل من المتغيرين الأول والثاني ٦٩٨,٢٩٪ وكانت المعادلة التنبؤية للمستوى الرقمي للقفز بالزانة بدلالة كل من (١٪)، (١٢٪)، (٩٪) كما يلى :

$$\text{المستوى الرقمي} = ٤,٤٦٩٨٨ + ٤,٢٤٦٩٨٨ + ٠,١١١٥٦ + ٠,١٧٣٩ \times ١٪ + ٠,١٧٣٩ \times ١٢٪ + ٠,٠٧٢٥٣ \times ٩٪$$

وتنتفق نتائج هذه الدراسة الحالية مع ما أشار إليه جيمس هاي (١٩٧٨م) من أهمية كل من السرعة الأفقية والسرعة الرأسية، وارتفاع CM قبل الانطلاق في وضع الجسم في ارتفاع ملائم وسوق أفقية مناسبة لتعديله العارضة، وبمعنى آخر الخطأ في الحركات السابقة يسبب اتساع أو سرعة غير ملائمة وكذلك كمية حركة غير مناسبة.

٦/ الاستنتاجات والتوصيات : Conclusions and recommendations :

٦/١ الاستنتاجات : Conclusions :

في حدود أهداف البحث ونتائجها يمكن استنتاج ما يلى :

- ١/١/٦ انحصرت الخصائص البيوميكانيكية للفقر بالزانة في أوليمبياد ١٩٩٢ فيما يلى :
- ١/١/٦/١ كبر طول الخطوة الأخيرة للارتفاع حيث انحصرت ما بين (١,٩٠ متر، ٢,١٧ متر) وكان متوسطها (٢,٠٢).
- ١/١/٦/٢ كبير اتساع القبضة حيث انحصر ما بين (٠,٥٠ متر، ٠,٦٣ متر) وكان المتوسط (٠,٥٨).
- ١/١/٦/٣ كبير المسافة الرأسية بين CM وقمة ارتكاز القدم عند الخطوة قبل الأخيرة للارتفاع حيث انحصرت ما بين (١,١٨ متر، ١,٠٠ متر) وكان متوسطها (١,١١٠ متر).
- ١/١/٦/٤ كبير المسافة الرأسية بين CM وقمة ارتكاز القدم عند الخطوة الأخيرة للارتفاع حيث انحصرت ما بين (١,١١٠ متر، ١,٢٠ متر) وكان متوسطها (١,١٠٠ متر).
- ١/١/٦/٥ كبير المسافة الرأسية بين CM وقمة ارتكاز القدم عند لحظة الارتفاع، حيث انحصرت ما بين (١,١٣ متر، ١,٢٠ متر)، كان متوسطها (١,١١).
- ١/١/٦/٦ كبير المسافة الرأسية بين CM وقمة آخر نقطة ارتكاز.
- ١/١/٦/٧ الاحتفاظ بالسرعة المكتسبة حتى آخر نقطى ارتكاز.
- ١/١/٦/٨ ارتفاع أقصى سرعة رأسية لمركز نقل كتلة الجسم حيث انحصرت ما بين (٤,٧٠ متر/ث، ٥,٢٠ متر/ث) وكان متوسطها (٤,١٠ متر/ث).
- ١/١/٦/٩ كبير قمة ارتفاع CM، حيث انحصرت ما بين (٥,٦٦ متر، ٥,٩١ متر) وكان متوسطها (٥,٨٠ متر).
- ١/١/٦/١٠ كبير ارتفاع CM عند آخر نقطة ارتكاز حيث انحصر ما بين (١,٢٠ متر، ١,٤٠ متر)، وكان متوسطه (١,٣٠ متر).
- ١/١/٦/١١ كبير الفرق بين ارتفاع CM عند آخر نقطة ارتكاز وعند ترك الزانة، حيث انحصر ما بين (٤,٤٠ متر، ٤,٥٠ متر)، وكان متوسطه (٤,٤٠ متر).
- ١/١/٦/١٢ وجود تباين في الفرق بين ارتفاع CM عند ترك الزانة وأعلى ارتفاع، حيث انحصر ما بين (١٤,٠٣ متر، ١٠,٣٠ متر) وكان متوسطه (١٤,٠٠ متر).

١٣/١/٦ وجود تباين في الفرق بين ارتفاع CM عند قمة ارتفاع CM وارتفاع العارضة حيث انحصر ما بين (٠٠٢٦، ٠٠٠٠ متر).

١٤/١/٦ وجود تباين في طول وتر الزانة في أقصى شئ للزانة حيث انحصر ما بين (١.٦٠، ١.٧٠ متر)، وكان المتوسط (١.٦٠ متر).

١٥/١/٦ وجود تباين بين مقادير أقصى كمية حركة زاوية للفافر حول المحور الأفقي المدار بمركز ثقل كتلة جسمه حيث انحصرت ما بين (١٩٠ كجم.م٢/ث) - (٢٧١.٨ كجم.م٢/ث)، ومتوسطها كان (٢٤١.٢٠٠ كجم.م٢/ث)

١٦/١/٦ وجود تباين بين كمية الحركة الزاوية خلال الطيران الحر حيث انحصرت ما بين (-٠٠٠١ كجم.م٢/ث، -٠٥٠١ كجم.م٢/ث) وكان المتوسط (-٩٤٧.٩٠٠ كجم.م٢/ث). وتشير الاشارة السالبة إلى أن CM يبقى مدعاً بالجري.

١٧/١/٦ صغر المسافة الأفقية بين CM والعارضة عند ترك الزانة - الاشارة السالبة تعنى أن CM مازال مدعاً بالجري - حيث انحصرت ما بين (-٠٣٠، ٠١٧ متر) وكان المتوسط (٠٠٧ متر).

١٨/١/٦ فلة انحراف CM عن الخط المنصف للجري عند لحظات كل من الارتفاع، غرّه الزانة، حيث انحصر.

١٩/١/٦ كلما زادت كل من المسافة الرأسية بين CM وقمة آخر لحظة ارتفاع، طول الخطوة الأخيرة للارتفاع، طول الخطوة، واتساع القبضة، والمسافة الرأسية بين CM وقمة ارتكاز القدم عند لحظة الارتفاع، والمسافة الرأسية بين CM وقمة ارتكاز القدم عند اللحظة الأخيرة للارتفاع، كلما زاد المستوى الرقمي للفافر بالزانة.

٢٠/١/٦ كلما زاد طول الخطوة الأخيرة خلال الارتفاع كلما زاد كل من اتساع القبضة، المسافة الرأسية بين CM وقمة ارتكاز القدم عند اللحظة الأخيرة للارتفاع، المسافة الرأسية بين CM وقمة ارتكاز القدم عند اللحظة الأخيرة للارتفاع، المسافة الرأسية بين CM وقمة آخر لحظة الارتفاع،

٢١/١/٦ كلما زادت المسافة الرأسية بين CM وقمة ارتكاز القدم عند اللحظة الأخيرة للارتفاع زادت كل من المسافة الرأسية بين CM وقمة ارتكاز القدم عن لحظة الارتفاع، المسافة الرأسية بين CM وقمة آخر لحظة الارتفاع.

٢٢/١/٦ كلما زادت المسافة الرأسية بين CM وقمة ارتكاز القدم عند لحظة الارتفاع زادت المسافة الرأسية بين CM وقمة آخر لحظة الارتفاع.

٢٣/١/١/٦ كلما زاد متوسط السرعة الأفقية لأخر خطوة اقتراب كلما قلت السرعة الأفقية خلال الطيران الحر.

٢٤/١/١/٦ كلما قلت السرعة الأفقية خلال الطيران الحر زاد مقدار أقصى سرعة رأسية لمركز ثقل كتلة الجسم.

٢٥/١/١/٦ كلما زادت قيمة ارتفاع CM النهائي زاد المستوى الرقمي للفوز بالزانة.

٢٦/١/١/٦ كلما قل كل من الفرق بين ارتفاع CM عند ترك الزانة وأعلى ارتفاع، الفرق بين ارتفاع CM عند أعلى ارتفاع، وارتفاع العارضة زاد المستوى الرقمي للفوز بالزانة.

٢٧/١/١/٦ كلما زاد ارتفاع CM عند آخر نقطة ارتكاز قل الفرق بين ارتفاع CM عند آخر نقطة ارتكاز وترك الزانة.

٢٨/١/١/٦ كلما زاد الفرق بين ارتفاع CM عند ترك الزانة وأعلى ارتفاع كلما زاد الفرق بين ارتفاع CM عند أعلى ارتفاع وارتفاع العارضة.

٢٩/١/١/٦ كلما زاد وتسر السزانة عند أقصى انحناء للزانة زاد المستوى الرقمي للفوز بالزانة.

٣٠/١/١/٦ كلما زادت أقصى كمية حركة زاوية للفاوز بالزانة كلما زاد كل من زاوية وتر السزانة مع الخط الأفقي عند ترك الزانة، المسافة الأفقية بين CM والعارض عند ترك الزانة.

٣١/١/١/٦ كلما زادت زاوية وتسر السزانة مع الخط الأفقي عند ترك الزانة كلما زادت المسافة الأفقية بين CM والعارض عند ترك الزانة.

٣٢/١/١/٦ أهم المتغيرات الديناميكية مساهمة وتأثيراً في المستوى الرقمي للفوز بالزانة هي :

أ - طول الخطوة الأخيرة لمركز ثقل كتلة الجسم خلال الارتفاع وكانت نسبة مساهمتها منفردة ٦٦,٦٥٪.

ب - أقصى سرعة رأسية لمركز ثقل كتلة الجسم خلال المسار الحركي وكانت نسبة مساهمتها منفردة ٢٢,٣٢٪.

ج - السرعة الأفقية لمركز ثقل كتلة الجسم عند آخر نقطة ارتكاز وكانت نسبة مساهمتها منفردة ٤٣,٣٠٪.

بلغت نسبة مساهمة المتغيرات الثلاثة في المستوى الرقمي للففر بالزانة مجتمعة .%٩٨,٢٩٧

٢٣/١/٦ المعادلة التنبؤية للمستوى الرقمي للففر بالزانة بدلالة كل من المتغيرات الثلاثة السابقة ذكرها هي :

المستوى الرقمي = $4,246988 + 4,61156 \times (\text{طول الخطوة الأخيرة لمركز نقل كتلة الجسم خلال الارتفاع}) + 0,1739 \times (\text{أقصى سرعة رأسية لمركز نقل كتلة الجسم})$

$\text{كتلة الجسم} = 0,07253 \times (\text{السرعة الأفقية لمركز نقل كتلة الجسم})$

٢/٦ التوصيات :

انطلاقاً مما توصل إليه الباحثان من نتائج والاستنتاجات يوصيان بما يلى :

١/٢/٦ عند التدريب على الففر بالزانة مراعاة العلاقات الارتباطية التي توصل لها الباحثان بين كل من متغيرات الازاحات والارتفاعات والسرعات وكمية الحركة الزاوية وانحناء ومد الزانة.

٢/٢/٦ استخدام المعادلة التنبؤية للمستوى الرقمي التي توصل لها الباحث لتحسين وتطوير المستوى الرقمي للففر بالزانة.

٣/٢/٦ استخدام نظام التصوير بالفيديو وبرنامج الحاسوب الآلى فى دراسات وبحوث الميكانيكا الحيوية.

المراجع :

- ١ - عادل عبد البصیر على : (١٩٩٨م)، الميكانيکا الحیویة والتکامل بین النظریة والتطبیق، الطبعة الثانیة، مرکز الكتاب للنشر، القاهرۃ.
- 2- Clauser C.E., : (1969), Weight, volume and center
McConville, J.T., & of mass segments of the human body
Young, J.W. (AMRL Tech. Rep.), weight
Patterson Air Force Base, OH.
- 3- Cooper, John, M., : (1970), Kinesiology (Fourth edition),
Glassow, Ruth, B. Mosby Company, Saint Louis.
- 4- Cornelius, A. : (1941), Factors associated with the
Warmerdam approach and take-off in pole
vaulting, CM. A. Thesis, LeLand
Stanford Junior University.
- 5- Dempester, W.T. : (1955) Space requirement of the
seated operator (WHDC Tech Rep.),
Wright Patterson Air Force Base,
OH.
- 6- Hay, J.G. : (1978), The biomechanics sports
techniques, (second edition) Prentice
Hall, Inc., Englwood Cliffs, N.J.,
U.S.A.

7- Whitsett, C.E. : (1963), Some dynamic response characteristics of weightless man, (ARML Tech. Rep.) Wright Patterson Air Force Base, OH.